



شیمی کانی و زمین دما-فشارسنجی سنگ‌های رسی دگرگون شده مجموعه دگرگونی گیسور، شرق گناباد

عبدالصمد پورمحمد^۱، احمد احمدی‌خلجی^{۱*}، مسعود همام^۲، محمد ابراهیمی^۳، رسول اسمعیلی^۳، زهرا طهماسبی^۱

۱- گروه زمین‌شناسی، دانشکده علوم پایه، دانشگاه لرستان

۲- گروه زمین‌شناسی، دانشکده علوم پایه، دانشگاه فردوسی مشهد

۳- گروه زمین‌شناسی، دانشکده علوم، دانشگاه زنجان

۴- انستیتو زمین‌شناسی و ژئوفیزیک، آکادمی علوم، پکن، چین

(دریافت مقاله: ۹۸/۶/۴، نسخه نهایی: ۹۸/۹/۶)

چکیده: منطقه گیسور در شرق شهرستان گناباد، بخشی از شمال قطعه لوت محسوب می‌شود. سنگ‌های این منطقه شامل سنگ‌های گرانیتوئیدی و مجموعه دگرگونی هستند. در سنگ‌های متاپلیتی (رسی دگرگونه) این منطقه وجود شیستوارگی S_1 و کانی‌کلریتوئید شاخص دگرگونی ناحیه‌ای است و به عنوان شواهد دگرگونی مجاورتی می‌توان به وجود بافت‌های تصادفی در کانی‌های آندالوزیت، استارولیت، مسکوویت؛ گارنت پس از زمین‌ساخت و رشد سیلیمانیت منشوری به درون لبه آندالوزیت اشاره کرد. گارنت دارای دو مرحله رشد بوده و بیشتر دارای اعضای پایانی آلماندین، گروسولار و اسپسارتین است. کلریتوئید و استارولیت از نوع آهن‌دار هستند. مسکوویت کمی جایگزینی از نوع پاراگونیت دارد. کلریتی شدن بیوتیت و گارنت، سریستی شدن آندالوزیت و بروز ریزترک‌های شعاعی در گارنت همه نشان دهنده یک دگرگونی پسروده و بالآمدگی هستند. براساس روش‌های زمین دما-فشارسنجی مرسوم، دما و فشار این مجموعه دگرگونی در گستره‌های $608 - 550^\circ\text{C}$ و $4.5 - 3.8$ kbar برآورد شدند. وجود ریزترک‌های شعاعی پیرامون میانبرهای کوارتز در گارنت ناشی از یک مؤلفه بزرگ کاهش فشار همدماست.

واژه‌های کلیدی: گیسور؛ گناباد؛ دگرگونی ناحیه‌ای؛ دگرگونی مجاورتی؛ زمین دما-فشارسنجی؛ قطعه لوت.

مقدمه

نظریه‌های مختلفی ارائه شده است؛ برخی آن را مربوط به پدیده‌هایی چون فرورانس [۴، ۵]، شرایط کششی [۶] و حتی فرورانس دوسویه [۷] نسبت داده‌اند. از جمله فعالیت‌های ماگمایی در قطعه لوت، توده گرانودیوریتی گیسور است که بر سازندهای کنار خود اثر گذاشته و آن‌ها را دچار دگرگونی مجاورتی کرده است.

مجموعه دگرگونی گیسور در ۵۸ کیلومتری شرق شهرستان گناباد قرار دارد و بخشی از ناحیه شمالی پهنه ساختاری قطعه لوت به شمار می‌آید [۸]. این منطقه بخشی از نقشه ۱:۱۰۰۰۰۰ نوده [۹] و نقشه ۱:۲۵۰۰۰۰ گناباد [۱۰] به

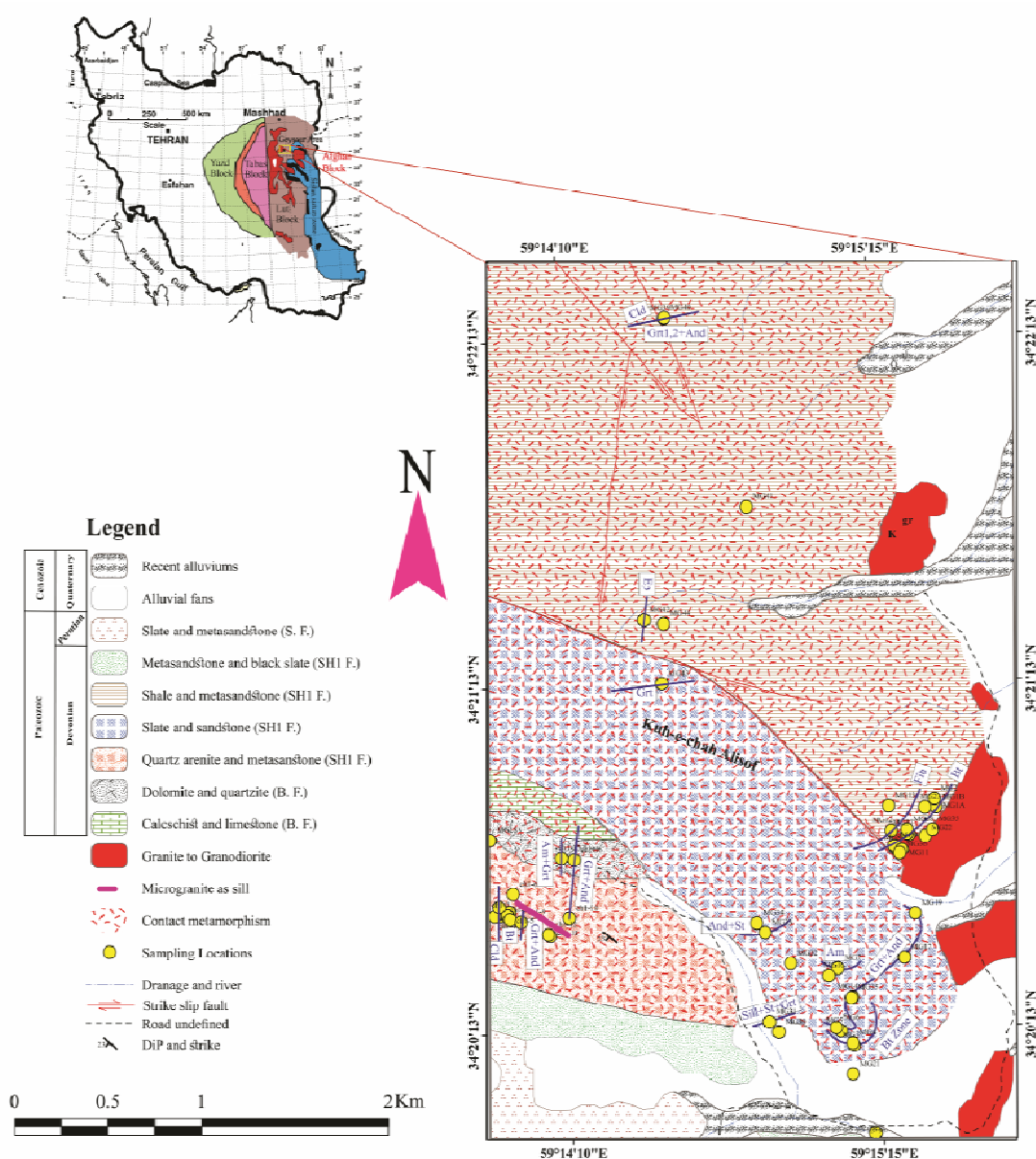
قطعه لوت را نخستین بار اشتوکلین [۱] به عنوان یکی از ۹ پهنه ساختاری در شرق ایران معرفی کرد. او و همکارش مرز شرقی قطعه لوت را گسل نهپندان و حوضه فلیش شرق ایران و مرز غربی آن را گسل نایبند و قطعه طبس مشخص کردند [۲]. مرز شمالی این قطعه با فروافتادگی جنوب کاشمر و مرز جنوبی آن به فرونشست جازموریان بسته می‌شود. از ویژگی‌های بی‌مانند قطعه لوت، فعالیت ماگمایی آن بوده که از ژوراسیک آغاز شده و در ترشیاری به اوج خود رسیده است [۳]. در ارتباط با چگونگی فعالیت‌های زمین‌ساختی ماگمایی در این قطعه

*نویسنده مسئول، تلفن-نمابر: ۰۶۶۳۳۱۲۰۶۱۹، پست الکترونیکی: ahmadikhalaj.a@lu.ac.ir

کردند. جوادی [۱۳] سنگ‌های دگرگونی منطقه گیسور را وابسته به دگرگونی ناحیه‌ای و مجاورتی دانسته و هاله دگرگونی مجاورتی را با نوع ۲b همسان می‌داند. برای مجموعه دگرگونی گیسور بررسی‌های دقیق و منسجمی صورت نگرفته است. بررسی این مجموعه و ارتباط آن با توده گرانودیوریتی گیسور کمک شایانی به شناخت جایگاه زمین‌ساختی و فعالیت ماگمایی شمال قطعه لوت خواهد کرد. از این رو، در این پژوهش افزون بر آزمون روش‌های مختلف برای تعیین شرایط دگرگونی، ویژگی‌های صحرایی، سنگ‌نگاری، شیمی کانی و مسیر تکاملی سنگ‌های دگرگونی گیسور بررسی شده است.

مختصات طول جغرافیایی $59^{\circ} 13' 52''$ تا $59^{\circ} 15' 42''$ شرقی و عرض جغرافیایی $34^{\circ} 19' 54''$ تا $34^{\circ} 22' 24''$ شمالی است (شکل ۱).

از جمله پژوهش‌های انجام شده در این منطقه، بررسی‌های شرکت فرانسوی B.R.G.M. بوده است که در کنار بررسی‌های زمین شیمیایی عناصر، اقدام به سن‌سنجی بر زیرکن‌های موجود در گرانیت‌های گیسور با روش U-Pb کردند [۱۱]. کریم‌پور و مرادی [۱۲] با استفاده از روش U-Pb در زیرکن، در گستره نقشه‌های زمین‌شناسی نوده و گناباد [۹، ۱۰]، سن توده‌های مونزونیتی نجم‌آباد (۳۹/۹ میلیون سال) را تعیین



شکل ۱ نقشه زمین‌شناسی منطقه مورد بررسی، برگرفته از نقشه ۱:۱۰۰۰۰۰ زمین‌شناسی نوده [۹] با کمی تغییرات. علائم استفاده شده در راهنمای نقشه عبارتند از B.F.= سازند بهرام، SH1.F.= سازند شیشو ۱ و S.F.= سازند سردر. محل کانی‌های شاخص بر نقشه مشخص شده است.

مواد و روش‌ها

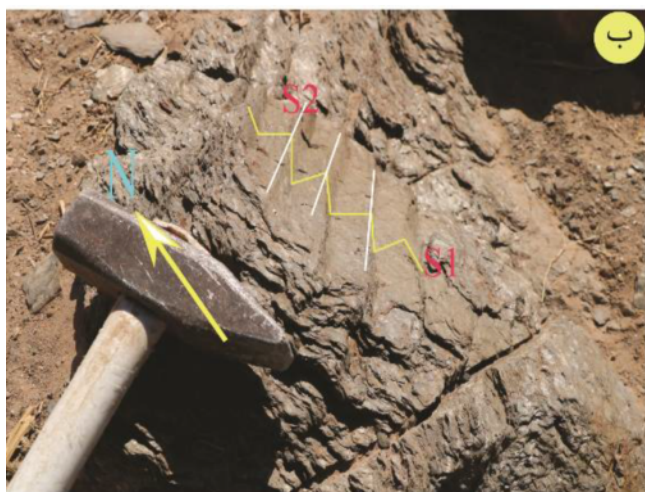
در راستای بررسی واحدهای سنگی مجموعه دگرگونی گیسور در ۵۲ ایستگاه نمونه‌برداری شد که در کنار بررسی صحرایی و سنگ‌شناسی از آنها تعداد ۴۹ مقطع نازک به منظور سنگ-نگاری تهیه شد. از میان نمونه‌های برداشت شده، تعداد ۲ نمونه برای بررسی های زمین شیمیایی سنگ کل انتخاب و پس از خردایش برای تجزیه شیمیایی به آزمایشگاه ACME ونکور کانادا فرستاده شد عناصر اصلی به روش طیف سنجی نشر اتمی پلاسمای جفت شده القایی (ICP-AES) تجزیه شد. از بین مقاطع نازک، ۳ نمونه با بیشترین تعداد کانی برای تجزیه ۱۱۵ نقطه انتخاب و توسط دستگاه ریزکاوا الکترونی کامکا مدل SX Five با ولتاژ شتاب دهنده 15 kV و جریان پرتو 20 nA (اندازه پرتو 5 μm) در موسسه زمین‌شناسی و زمین فیزیک انجمن علوم کشور چین (IGG-CAS) بررسی شدند. در این بررسی در حد ممکن از داده‌های با اعتبار کافی استفاده شد. نتایج به کمک نرم افزارهای گوناگون از قبیل Thermocalc v.3.7 [۱۴] با بانک اطلاعاتی tcds55 Gibbs [۱۵]، GTB v.2.1 [۱۶]، WinCcac [۱۷] و Theriak-Domino [۱۸] با بانک اطلاعاتی tcd55 پردازش شد و اساس تجزیه و تحلیل قرار گرفت. علائم بکار رفته در این نوشتار برگرفته از مراجع [۲۰، ۱۹] است.

زمین‌شناسی

مجموعه دگرگونی گیسور در اثر توده‌های نفوذی دارای طیف گوناگونی از سنگ‌های اسلیت و فیلیت تا انواع شیست‌ها (کلریتوئید شیست، گارنت شیست، بیوتیت-استارولیت-گارنت شیست، آندالوزیت شیست، سیلیمانیت-آندالوزیت شیست، آندالوزیت-گارنت شیست و آندالوزیت-سیلیمانیت-استارولیت-گارنت شیست) است. این مجموعه با رنگ سبز در بین سایر سازندهای منطقه قابل تشخیص است و در آن، ساختار بودین و ریزچین‌ها دیده می‌شوند. بودین‌شدگی در راستای شمال شرقی - جنوب غربی و موازی با محور ریزچین‌ها رخ داده و خطواره‌های یکسانی ایجاد کرده است. بعبارت دیگر، راستای کشش بودین موازی راستای خطواره ریزچین‌هاست (شکل ۲). راستای شیستوارگی شمال غربی - جنوب شرقی با شیب به

سمت جنوب غرب است. شیستوارگی با آذرین لایه میکروگرانییتی همراستا است [۲۱]. این منطقه در معرض گسل-های راستا لغز بوده که حرکات آن‌ها بر سنگ‌های پیرامون اثر گذاشته‌اند (شکل ۱). در برخی موارد، سنگ‌های گرانیتی پیرامون گسل‌ها خرد شده و به سوی میلونیتی‌شدن پیش رفته‌اند.

در شرق منطقه مورد بررسی و در کنار توده گرانیتوئیدی گیسور درون شکستگی‌های میکاشیست‌ها، رگچه‌هایی بسیار متراکم از تورمالین با پهنای ۱۰ cm دیده می‌شوند. در این مجموعه، رگه‌های پگماتیستی سرشار از مسکوویت‌های درشت و تورمالین قابل مشاهده‌اند که به احتمال بسیار در ارتباط با جریان سیال‌های بوردار است که از توده گرانیتوئیدی شکل گرفته‌اند. در لبه‌های توده، سنگ‌های دگرگونی دارای بیوتیت یا به عبارت دیگر بیوتیت شیست‌ها تشکیل شده‌اند. در ضلع شرقی، پس از بیوتیت شیست‌ها، بیوتیت-فیبرولیت شیست‌ها قرار دارند که به احتمال بسیار فیبرولیت در اثر سیال‌های اسیدی از بیوتیت شکل گرفته است [۲۲]. در انتهای ضلع غربی، کلریتوئید شیست‌ها رخمون دارند. همچنین کلریتوئید شیست‌ها در ضلع شمالی دیده می‌شوند که با آندالوزیت همراهی می‌شوند. در این بخش، آندالوزیت - گارنت شیست نیز دیده می‌شود. در بخش مرکزی و شرقی، اپیدوت شیست‌ها به همراه آندالوزیت شیست‌ها به طور متناوب قرار گرفته‌اند که به احتمال بسیار در ارتباط با تغییر ترکیب محلی است. در ضلع جنوبی، گارنت بصورت گسترده‌تر، استارولیت و سرانجام سیلیمانیت منشوری دیده می‌شوند (شکل ۱). بنابراین در بخش جنوبی، افزایش دما بیشتر بوده است و ضلع شرقی بیشتر در معرض سیال‌های بوردار و اسیدی بوده است. برخی از کانی‌ها مانند آندالوزیت، استارولیت و مسکوویت بطور تصادفی در سنگ‌ها رشد کرده‌اند که نشانگر افزایش دمای ناشی از نفوذ توده‌های آذرین گرانیتوئیدی است. اندازه بلورهای آندالوزیت و گارنت به ترتیب به ۸ و ۰/۶ cm می‌رسد. افزون بر این، در کنار آذرین لایه میکروگرانییتی، گارنت به رنگ قرمز آلبالویی رشد کرده است. آندالوزیت‌های موجود در بخش شمالی و غربی به شدت دگرسان و سریستی شده‌اند.

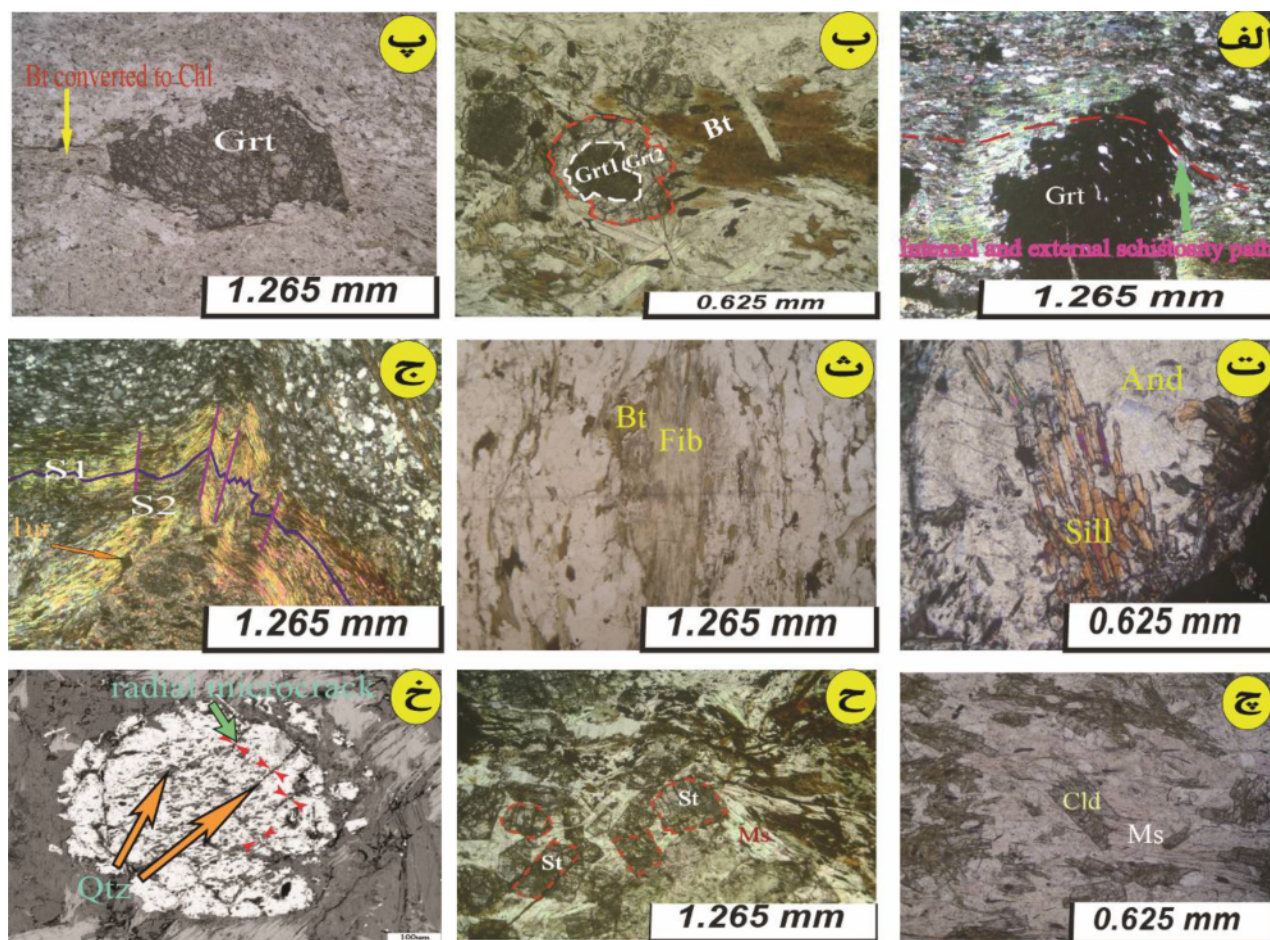


شکل ۲ الف) بودین که راستای کشش در آن مشخص شده است و ب) ریز چین‌ها که شیستوارگی‌های S_1 و S_2 در آن دیده می‌شوند.

سنگ‌نگاری

کانی‌های اصلی مجموعه دگرگونی در متاپلیت‌ها همه که شامل استارولیت، گارنت، آندالوزیت، سیلیمانیت و کلریتوئید و همه به صورت شکفته بلور هستند. کانی‌های بیوتیت، کلریت و مسکوویت نیز شیستوارگی را می‌سازند. همچنین کوارتز و کانی‌های کدر به همراه آن‌ها وجود دارند. گارنت دارای میانبار-هایی از بیوتیت، مسکوویت، کوارتز و کانی‌های کدر و گاهی شکستگی‌های بسیار لانه زنبوری و در مواردی نیز شکستگی‌های شعاعی و محیطی (شکل ۳ خ) است. گارنت کنار این ترک‌ها کلریتی شده است. این کانی روی شیستوارگی رشد کرده و آنرا قطع نموده است. میانبارهای موجود در شیستوارگی داخلی با شیستوارگی زمینه (شیستوارگی خارجی) همراستا هستند (شکل ۳ الف)، همچنین بافتی چون سایه فشاری که از نشانه‌های گارنت‌های همزمان با زمین‌ساخت است، در آن‌ها دیده نمی‌شود. بنابراین، بلورهای گارنت پسا زمین‌ساخت هستند (شکل‌های ۳ الف و پ). گارنت در دو مرحله رشد کرده است در مرحله نخست، شکل بلور گارنت منظم نیست (شکل ۳ ب) و میانبارهای بسیاری از کانی‌های کوارتز بی‌شکل و در اندازه‌های مختلف دارد (شکل ۳ خ)، اما در مرحله دوم، بدون میانبار و دارای شکل بلوری منظم‌تر است (شکل ۳ ب). آندالوزیت اغلب در سراسر مجموعه دگرگونی وجود دارد و سرسپیتی شده است. در بخش‌های سالم این کانی، میانبارهایی از بیوتیت، مسکوویت، استارولیت و سیلیمانیت منشوری و کانی‌های کدر دیده می‌شود. جهت میانبارهای بیوتیت در

آندالوزیت با شیستوارگی خارجی همراستا هستند، عبارت دیگر، آن‌ها نیز پسا زمین‌ساخت هستند. سیلیمانیت به دو صورت الیافی و منشوری دیده می‌شود. سیلیمانیت الیافی (فیبرولیت) از بیوتیت ناشی شده و سیلیمانیت منشوری از تبدیل چندشکلی آندالوزیت بوجود آمده و از لبه آندالوزیت به درون آن رشد کرده است (شکل ۳ ت). استارولیت در نور معمولی با چند رنگی زرد تا بی‌رنگ و برجستگی بالا شناخته می‌شود. استارولیت نیز به صورت متقاطع و دارای آرایش تصادفی است (شکل ۳ ح). کلریت بیشتر از بیوتیت بوجود آمده و یک کانی ثانوی است. کلریت به صورت کاذب جایگزین بیوتیت شده است. بلورهای مسکوویت اولیه موازی با شیستوارگی و بلورهای مسکوویت ثانوی دارای آرایش تصادفی هستند. کلریتوئید به موازی با شیستوارگی و در نور عادی دارای چند رنگی سبز مایل به آبی کم رنگ و دارای ماکل تکراری است. کوارتز دارای خاموشی موجی بوده و مرز بین دانه‌های آن خمیده و نامنظم است. بلورهای کوارتز در نقاط سه‌گانه زاویه 120° درجه تشکیل نمی‌دهند، بنابراین انرژی سطحی کل در آن‌ها بالاست [۲۳]. پلاژیوکلازها با ماکل تکراری در برخی از انواع شیست‌ها دیده می‌شوند. تورمالین نیز روی شیستوارگی رشد کرده و آن را قطع می‌کند. شیستوارگی اولیه در اثر عامل تنش دیگری دوباره دچار چین‌خوردگی شده است (شکل‌های ۲ ب و ۳ ج). لایه‌بندی ترکیبی در شیست‌ها نشان می‌دهد که هر لایه در مقایسه با کوارتز از بیوتیت و مسکوویت غنی‌تر یا فقیرتر شده است (شکل ۳ ج).



شکل ۳ الف) مسیرهای شیستوارگی درونی گارنت و زمینه که همراه است هستند. ب) گارنت با دو مرحله رشد. پ) گارنت با شکستگی لانه زنبوری که بر شیستوارگی رشد کرده و پسا زمین ساخت است. ت) سیلیمانیت منشوری که از لبه به درون آندالوزیت رشد کرده است. ث) فیبرولیت که از بیوتیت ناشی شده است. ج) ریزچین‌ها (شیستوارگی‌های S_1 و S_2 بر آن‌ها نمایش داده شده‌اند). چ) کلریتوئید در زمینه‌ای از مسکوویت که شیستوارگی را ایجاد نموده است. ح) بلورهای استارولیت به طور متقاطع و تصادفی قرار گرفته‌اند و کنار آنها مسکوویت دیده می‌شود. خ) ریزترک-های شعاعی و بلورهای کوارتز که در پهنه گارنت (نمونه MG_{39}) با هم در ارتباط‌اند. علائم بکار رفته برگرفته از مراجع [۲۰، ۱۹] است.

شیمی کانی

کانی‌های دگرگونی شامل کلریتوئید، گارنت، استارولیت، آندالوزیت، مسکوویت و بیوتیت در نمونه‌های انتخاب شده از شیست‌ها با استفاده از ریز پردازشگر تجزیه شدند که نتایج به دست آمده در جدول‌های ۱ تا ۵ ارائه شده‌اند.

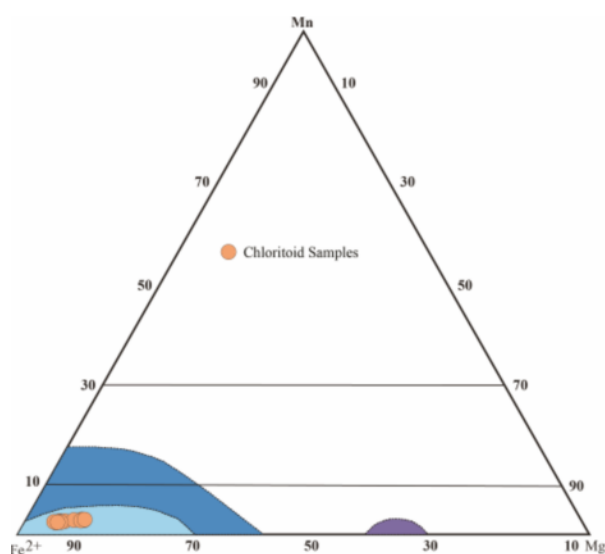
کلریتوئید

کلریتوئید یک کانی شاخص با درجه دگرگونی ناحیه‌ای پایین تا متوسط در سنگ‌های پلیتی است. نتایج تجزیه نقطه-ای آن در جدول ۱ ارائه شده است. تعداد کاتیون‌ها براساس ۱۲ اکسیژن محاسبه شده‌اند. مقدار کل اکسیدها بین ۹۰/۱۴ و ۹۳/۱۳ درصد است که برای کلریتوئید مقدار خوبی محسوب

می‌شود. مقدار TiO_2 در کلریتوئید کمتر از ۰/۲ wt% ($Ti = 0-0.004 \text{ apfu}$) و مقدار CaO آن کمتر از ۰/۰۴ wt% است که نشانگر نبود میانبرهای آپاتیت، اسفن و یا کربنات-هاست. مقادیر Na_2O و K_2O $Na \leq 0.015 \text{ apfu}$ و $K \leq 0.003 \text{ apfu}$ نیز بسیار کم بوده که نشانگر نبود میانبر-های میکای پتاسیم‌دار و یا پاراگونیست است [۲۴]. مقدار Mn به 0.058 apfu می‌رسد. شکل ۴ ترکیب کلریتوئیدها را بر نمودار مثلثی Mn ، Fe^{2+} و Mg نشان می‌دهد. که براساس آن جایگاه مکعبی کلریتوئید توسط Fe^{2+} پر شده است [۲۵]، عبارت دیگر، کلریتوئیدها از نوع آهن‌دار هستند.

جدول ۱ نتایج تجزیه نقطه‌ای کلریتوئید. تعداد کاتیون‌ها براساس ۱۲ اکسیژن محاسبه شده‌اند.

شماره نمونه	۱	۲	۳	۴	۵	۶	۷	۸	۹	۱۰	۱۱	۱۲
SiO ₂	۲۴,۲۹۴	۲۳,۴۶۶	۲۴,۰۷۳	۲۴,۵۵۳	۲۴,۰۱۶	۲۴,۳۶۵	۲۴,۲۲۶	۲۳,۶۷۲	۲۳,۷۳۳	۲۳,۸۱۰	۲۳,۹۵۹	۲۴,۰۰۸
TiO ₂	۰,۰۲۹	۰,۰۳۷	۰,۰۴۶	۰,۰۰۰	۰,۰۰۰	۰,۰۳۳	۰,۰۰۰	۰,۰۰۰	۰,۰۰۰	۰,۰۰۰	۰,۰۰۰	۰,۰۰۰
Al ₂ O ₃	۴۰,۴۷۶	۳۹,۵۲۳	۴۰,۰۲۳	۴۰,۷۴۵	۴۰,۱۶۵	۴۰,۱۶۶	۴۰,۹۳۳	۳۹,۸۵۶	۳۰,۹۶۰۷	۴۰,۰۷۰	۴۰,۳۶۱	۴۰,۴۹۵
FeO	۲۴,۴۹۰	۲۵,۴۴۹	۲۶,۲۴۴	۲۶,۰۰۴	۲۴,۵۰۵	۲۵,۲۲۳	۲۴,۵۷۴	۲۵,۲۸۰	۲۶,۱۵۶	۲۶,۳۸۱	۲۵,۵۰۷	۲۴,۷۲۷
MnO	۰,۸۲۵	۰,۶۶۶	۰,۶۹۹	۰,۷۱۲	۰,۷۶۶	۰,۸۰۵	۰,۷۹۸	۰,۷۳۶	۰,۷۰۴	۰,۶۶۲	۰,۷۳۵	۰,۸۳۷
MgO	۱,۶۱۸	۰,۸۹۱	۱,۰۱۹	۰,۹۵۷	۱,۵۱۷	۱,۳۴۰	۱,۶۱۳	۱,۰۸۰	۰,۸۰۹	۰,۸۹۶	۰,۹۳۹	۱,۵۴۵
CaO	۰,۰۰۰	۰,۰۲۹	۰,۰۰۷	۰,۰۱۶	۰,۰۴۱	۰,۰۰۰	۰,۰۰۰	۰,۰۱۷	۰,۰۰۰	۰,۰۱۵	۰,۰۰۲	۰,۰۱۷
Na ₂ O	۰,۰۴۲	۰,۰۳۴	۰,۰۱۳	۰,۰۱۸	۰,۰۹۳	۰,۰۵۴	۰,۰۰۶	۰,۰۰۵	۰,۰۰۸	۰,۰۳۷	۰,۰۴۴	۰,۰۱۱
K ₂ O	۰,۰۰۷	۰,۰۰۱	۰,۰۰۳	۰,۰۰۸	۰,۰۲۶	۰,۰۲۸	۰,۰۰۰	۰,۰۱۲	۰,۰۰۰	۰,۰۰۵	۰,۰۳۰	۰,۰۲۴
SrO	۰,۰۰۰	۰,۰۰۰	۰,۰۰۰	۰,۰۰۰	۰,۰۶۵	۰,۰۰۰	۰,۰۰۰	۰,۰۰۰	۰,۰۰۰	۰,۰۰۰	۰,۰۰۰	۰,۰۰۰
BaO	۰,۰۰۰	۰,۰۰۰	۰,۰۰۰	۰,۰۰۰	۰,۰۰۳	۰,۰۰۰	۰,۰۱۵	۰,۰۶۸	۰,۰۰۷	۰,۰۴۶	۰,۰۰۰	۰,۰۱۷
Cr ₂ O ₃	۰,۰۰۰	۰,۰۰۰	۰,۰۰۰	۰,۰۰۰	۰,۰۰۰	۰,۰۰۰	۰,۰۱۰	۰,۰۰۲	۰,۰۰۰	۰,۰۲۱	۰,۰۰۷	۰,۰۰۰
NiO	۰,۰۰۰	۰,۰۰۰	۰,۰۰۰	۰,۰۰۰	۰,۰۰۰	۰,۰۰۰	۰,۰۰۲	۰,۰۰۰	۰,۰۲۵	۰,۰۴۴	۰,۰۳۳	۰,۰۱۳
مجموع	۹۱,۷۸۱	۹۰,۰۹۶	۹۲,۱۲۷	۹۳,۰۱۳	۹۱,۱۹۷	۹۲,۰۱۴	۹۲,۱۷۷	۹۰,۷۳۸	۹۱,۰۴۹	۹۱,۹۸۷	۹۱,۶۱۷	۹۱,۶۹۴
Si	۲,۰۲۷	۲,۰۱۰	۲,۰۱۹	۲,۰۳۳	۲,۰۲۱	۲,۰۳۶	۲,۰۱۲	۲,۰۱۲	۲,۰۱۷	۲,۰۰۵	۲,۰۱۵	۲,۰۱۰
Al _(iv)	۳,۰۰۰	۳,۰۰۰	۳,۰۰۰	۳,۰۰۰	۳,۰۰۰	۳,۰۰۰	۳,۰۰۰	۳,۰۰۰	۳,۰۰۰	۳,۰۰۰	۳,۰۰۰	۳,۰۰۰
Al _(vi)	۰,۹۸۰	۰,۹۹۰	۰,۹۵۷	۰,۹۷۵	۰,۹۸۴	۰,۹۵۵	۱,۰۰۸	۰,۹۹۲	۰,۹۶۸	۰,۹۷۸	۱,۰۰۰	۰,۹۹۶
Ti	۰,۰۰۲	۰,۰۰۲	۰,۰۰۳	۰,۰۰۰	۰,۰۰۰	۰,۰۰۲	۰,۰۰۰	۰,۰۰۰	۰,۰۰۰	۰,۰۰۰	۰,۰۰۰	۰,۰۰۰
Fe ³⁺	۰,۰۰۰	۰,۰۰۰	۰,۰۰۰	۰,۰۰۰	۰,۰۰۰	۰,۰۰۰	۰,۰۰۰	۰,۰۰۰	۰,۰۰۰	۰,۰۰۰	۰,۰۰۰	۰,۰۰۰
Mg	۰,۲۰۱	۰,۱۱۴	۰,۱۲۷	۰,۱۱۸	۰,۱۹۰	۰,۱۶۷	۰,۲۰۰	۰,۱۳۷	۰,۱۰۲	۰,۱۱۲	۰,۱۱۸	۰,۱۹۳
Fe ²⁺	۱,۷۰۹	۱,۸۲۳	۱,۸۴۱	۱,۸۰۰	۱,۷۲۵	۱,۷۶۲	۱,۷۰۷	۱,۷۹۷	۱,۸۵۹	۱,۸۵۸	۱,۷۹۴	۱,۷۳۱
Mn	۰,۰۵۸	۰,۰۴۸	۰,۰۵۰	۰,۰۵۰	۰,۰۵۵	۰,۰۵۷	۰,۰۵۶	۰,۰۵۳	۰,۰۵۱	۰,۰۴۷	۰,۰۵۲	۰,۰۵۹
Ca	۰,۰۰۰	۰,۰۰۳	۰,۰۰۱	۰,۰۰۱	۰,۰۰۴	۰,۰۰۰	۰,۰۰۰	۰,۰۰۲	۰,۰۰۰	۰,۰۰۱	۰,۰۰۰	۰,۰۰۲
Na	۰,۰۰۷	۰,۰۰۶	۰,۰۰۲	۰,۰۰۳	۰,۰۱۵	۰,۰۰۹	۰,۰۰۱	۰,۰۰۱	۰,۰۰۱	۰,۰۰۶	۰,۰۰۷	۰,۰۰۲
K	۰,۰۰۱	۰,۰۰۰	۰,۰۰۰	۰,۰۰۱	۰,۰۰۳	۰,۰۰۳	۰,۰۰۰	۰,۰۰۱	۰,۰۰۰	۰,۰۰۱	۰,۰۰۳	۰,۰۰۳

شکل ۴ نمودار مثلثی Mg-Fe²⁺-Mn که براساس آن، جایگاه مکعبی کلریتوئید توسط Fe²⁺ پر شده است.

گارنت

گارنت با فرمول کلی $X_3Y_2Z_3O_{12}$ شناخته می‌شود که کاتیون‌های جایگاه X شامل Mg , Ca , Mn^{2+} و Fe^{2+} ، کاتیون‌های جایگاه Y شامل Si , Mg , Fe^{3+} , Cr , Al و Ti و کاتیون‌های جایگاه Z دربردارنده Si و Al هستند. در نمونه‌های متاپلیتی (MG_{39} و MG_{31B})، مجموع کاتیون‌ها در جایگاه X کمتر از ۳ *apfu* ($2.94 < X < 2.97$) و مجموع کاتیون‌ها در جایگاه Y بیشتر از ۲ *apfu* ($2.05 < Y < 2.02$) است [۲۶].

بنابراین باید بین جایگاه‌های بلوری X و Y جانشینی‌هایی ساده وجود داشته باشد (جدول ۲). از آنجا که دو عضو پایانی اواروایت و آندرادیت با گروسولار محلول جامد می‌سازند، این جانشینی‌ها به ترتیب به صورت $AlCr^{3+}$ و $AlFe^{3+}$ است. بنابراین گارنت در این نمونه‌ها غیر آرمانی است. با این وجود، مجموع کاتیون‌ها در هر دو جایگاه بلوری X و Y بسیار به مجموع کاتیون‌ها در فرمول عمومی نزدیک است، بعبارت دیگر، مقادیر اعضای پایانی اواروایت و آندرادیت ناچیز هستند.

آن از ۷۴٫۰۲ تا ۸۲٫۱۷٪ تغییر می‌کند، اما مقدار این عضو پایانی در لبه گارنت نوع ۲ به ۸۴٫۰۴٪ می‌رسد. افزون بر این، مقدار آلماندین در گارنت نوع ۱ از مرکز به لبه افزایش می‌یابد. مقدار عضو پایانی اسپسارتین نیز در مرکز گارنت نوع ۱ از ۱۰٫۶۷ تا ۱۳٫۵۲٪ و در لبه از ۶٫۶۵ تا ۱۲٫۴۵٪ تغییر می‌کند، به هر حال این مقدار از مرکز به لبه کاهش می‌یابد. این مقدار در لبه گارنت نوع ۲ به ۵٫۴۲٪ کاهش می‌یابد. مقدار عضو پایانی گروسولار در مرکز گارنت نوع ۱ از ۲٫۶۴ تا ۶٫۱۳٪ و در لبه از ۰٫۹۶ تا ۶٫۰۷٪ متغیر است، در نتیجه مقدار آن از مرکز به لبه کاهش می‌یابد، و در لبه گارنت نوع ۲ به ۱٫۴۳٪ می‌رسد.

بنابراین، گارنت در نمونه‌های جدول ۲ می‌تواند رفتاری شبیه به گارنت‌های آرمانی داشته باشد.

در جدول ۲ فرمول ساختاری گارنت براساس ۱۲ اکسیژن و ۸ کاتیون محاسبه شده است. ترکیب لبه به لبه برخی از گارنت‌ها در آن ارائه شده است. در گارنت نمونه MG_{31B}، از مرکز به سمت لبه، مقدار عضو پایانی آلماندین و گروسولار به ترتیب از ۸۲/۱۰ تا ۸۴/۶۸٪ و از ۲/۷۷ تا ۳/۵۲٪ افزایش یافته، در حالی که مقدار عضو پایانی اسپسارتین از ۵/۷۳ به ۳/۵۸٪ کاهش می‌یابد. اما در نمونه MG₃₉ با دو نوع گارنت ۱ و ۲، است این مقادیر با تغییراتی همراه هستند. در مرکز گارنت نوع ۱، مقدار عضو پایانی آلماندین بین ۷۲/۲۸ تا ۷۸/۱۹٪ و در لبه

جدول ۲ نتایج تجزیه نقطه‌ای گارنت و محاسبه فرمول ساختاری آن. محاسبات براساس ۸ کاتیون و ۱۲ آنیون ($X_3Y_2Z_3O_{12}$) بدون تهی‌جا در جایگاه‌های X یا Y انجام شده است. محاسبه نسبت‌های آهن سه ظرفیتی، دو ظرفیتی، بر اساس موازنه بار است.

	MG31B					MG39																			
						Grt ₁			Grt ₂			Grt ₁			Grt ₂			Grt ₁			Grt ₂				
	Rim		core		Rim	rim	core	rim		rim	rim	core	rim		rim	rim	core	rim		rim	rim	core	rim		rim
شماره نمونه	۱۴	۱۵	۱۶	۱۷	۱۸	۱۹	۲۰	۲۱	۲۲	۲۳	۲۴	۲۵	۲۶	۲۷	۲۸	۲۹	۳۰	۳۱	۳۲	۳۳	۳۴	۳۵	۳۶		
SiO ₂	۳۶,۶۴۵	۳۶,۲۶۲	۳۶,۲۸۰	۳۶,۴۷۲	۳۶,۰۰۴	۳۶,۹۴۲	۳۶,۱۶۶	۳۶,۲۱۵	۳۶,۱۴۰	۳۶,۵۶۰	۳۶,۱۱۹	۳۵,۸۱۹	۳۶,۱۶۵	۳۵,۹۰۱	۳۶,۳۷۱	۳۶,۲۱۳	۳۶,۱۸۷	۳۶,۱۷۹	۳۶,۱۱۰	۳۶,۰۷۱	۳۶,۸۲۸	۳۵,۸۴۰	۳۵,۸۲۱		
TiO ₂	۰,۰۲۴	۰,۰۵۵	۰,۱۴۹	۰,۲۴۰	۰,۰۶۸	۰,۰۰۰	۰,۰۰۰	۰,۰۰۰	۰,۰۵۶	۰,۰۵۱	۰,۰۱۸	۰,۰۰۰	۰,۰۶۹	۰,۰۰۰	۰,۰۰۰	۰,۰۲۱۹	۰,۰۱۴	۰,۰۴۶	۰,۰۰۰	۰,۰۳۰	۰,۰۱۹	۰,۰۳۰			
Al ₂ O ₃	۲۰,۹۰۵	۲۰,۶۶۲	۲۰,۵۴۴	۲۰,۸۷۰	۲۰,۳۹۹	۲۱,۲۷۵	۲۰,۸۷۰	۲۰,۷۱۳	۲۰,۶۱۳	۲۰,۵۲۶	۲۰,۷۸۶	۲۰,۶۴۹	۲۰,۸۰۸	۲۰,۶۸۸	۲۱,۰۷۲	۲۰,۸۷۲	۲۰,۶۷۲	۲۰,۷۰۵	۲۰,۶۳۲	۲۰,۸۸۲	۲۱,۰۰۰	۲۰,۴۴۹	۲۰,۴۹۹		
Cr ₂ O ₃	۰,۰۶۳	۰,۰۹۷	۰,۰۰۰	۰,۰۹۲	۰,۱۲۵	۰,۰۴۲	۰,۰۱۸	۰,۰۱۸	۰,۰۱۴	۰,۰۵۱	۰,۰۰۲	۰,۰۴۰	۰,۰۱۶	۰,۰۱۲	۰,۰۰۰	۰,۰۳۲	۰,۰۰۷	۰,۰۴۱	۰,۰۰۰	۰,۰۱۱	۰,۰۱۹	۰,۰۰۷	۰,۰۱۱		
FeO	۳۸,۱۳۷	۳۷,۹۲۴	۳۷,۰۹۳	۳۷,۶۹۶	۳۷,۳۹۲	۳۷,۱۴۱	۳۵,۷۷۶	۳۵,۸۱۰	۳۴,۸۶۸	۳۴,۹۵۸	۳۴,۱۷۱	۳۴,۲۳۴	۳۵,۱۶۸	۳۴,۴۴۴	۳۴,۹۰۱	۴۲,۰۳۷	۳۷,۱۶۱	۳۷,۱۵۸	۳۴,۱۵۴	۳۴,۴۱۹	۳۷,۶۱۶	۳۷,۰۹۷	۳۷,۳۳۳		
MnO	۱,۵۶۱	۲,۰۴۷	۲,۴۸۴	۱,۷۶۳	۲,۷۱۰	۲,۹۶۷	۴,۶۳۶	۵,۱۷۷	۵,۳۵۶	۲,۹۳۴	۲,۳۸۹	۴,۱۸۴	۵,۰۳۳	۴,۶۳۰	۴,۵۵۴	۲,۶۲۸	۲,۳۳۸	۲,۸۸۶	۵,۸۵۶	۵,۴۱۵	۲,۴۷۸	۲,۸۴۳	۲,۰۳۰		
MgO	۱,۶۹۸	۱,۶۲۰	۱,۶۹۷	۱,۷۰۰	۱,۵۹۵	۱,۷۳۳	۱,۵۴۳	۱,۵۶۵	۱,۲۲۷	۱,۶۵۲	۱,۷۳۳	۱,۵۹۳	۱,۴۵۱	۱,۲۶۳	۱,۴۷۴	۱,۶۹۷	۱,۶۵۸	۱,۶۹۶	۱,۳۳۰	۱,۴۲۲	۱,۷۲۹	۱,۷۰۲	۱,۵۹۹		
CaO	۱,۴۰۰	۱,۶۰۵	۱,۴۸۵	۱,۴۸۵	۱,۵۵۹	۱,۱۳۳	۱,۰۹۶	۰,۷۱۰	۳,۵۳۶	۱,۳۰۷	۱,۰۲۲	۰,۷۱۸	۱,۹۳۳	۲,۵۰۷	۲,۳۴۶	۱,۰۹۳	۱,۱۱۰	۱,۲۵۶	۳,۵۰۶	۱,۹۴۹	۱,۰۴۶	۱,۱۶۳	۱,۰۰۹		
Si	۲,۹۷۰	۲,۹۵۰	۲,۹۶۰	۲,۹۶۰	۲,۹۴۰	۲,۹۷۰	۲,۹۵۰	۲,۹۶۰	۲,۹۵۰	۲,۹۴۰	۲,۹۵۰	۲,۹۳۰	۲,۹۵۰	۲,۹۳۰	۲,۹۴۰	۲,۹۵۰	۲,۹۳۰	۲,۹۵۰	۲,۹۵۰	۲,۹۴۰	۲,۹۸۰	۲,۹۵۰	۲,۹۴۰		
Ti	۰,۰۰۰	۰,۰۰۰	۰,۰۱۰	۰,۰۱۰	۰,۰۰۰	۰,۰۰۰	۰,۰۰۰	۰,۰۰۰	۰,۰۰۰	۰,۰۰۰	۰,۰۰۰	۰,۰۰۰	۰,۰۰۰	۰,۰۰۰	۰,۰۰۰	۰,۰۰۰	۰,۰۰۰	۰,۰۰۰	۰,۰۰۰	۰,۰۰۰	۰,۰۰۰	۰,۰۰۰			
Al(iv)	۰,۰۳۰	۰,۰۳۰	۰,۰۴۰	۰,۰۴۰	۰,۰۴۰	۰,۰۳۰	۰,۰۵۰	۰,۰۴۰	۰,۰۵۰	۰,۰۳۰	۰,۰۵۰	۰,۰۵۰	۰,۰۷۰	۰,۰۶۰	۰,۰۴۰	۰,۰۵۰	۰,۰۳۰	۰,۰۵۰	۰,۰۵۰	۰,۰۶۰	۰,۰۵۰	۰,۰۵۰	۰,۰۶۰		
Al(vi)	۱,۹۷۰	۱,۹۵۰	۱,۹۵۰	۱,۹۵۰	۱,۹۱۰	۱,۹۹۰	۱,۹۵۰	۱,۹۳۰	۱,۹۳۰	۱,۹۸۰	۱,۹۵۰	۱,۹۲۰	۱,۹۴۰	۱,۹۶۰	۱,۹۶۰	۱,۹۷۰	۱,۹۴۰	۱,۹۴۰	۱,۹۴۰	۱,۹۹۰	۱,۹۳۰	۱,۹۳۰			
Cr	۰,۰۰۰	۰,۰۱۰	۰,۰۰۰	۰,۰۱۰	۰,۰۱۰	۰,۰۰۰	۰,۰۰۰	۰,۰۰۰	۰,۰۰۰	۰,۰۰۰	۰,۰۰۰	۰,۰۰۰	۰,۰۰۰	۰,۰۰۰	۰,۰۰۰	۰,۰۰۰	۰,۰۰۰	۰,۰۰۰	۰,۰۰۰	۰,۰۰۰	۰,۰۰۰	۰,۰۰۰			
Fe ²⁺	۲,۵۴۰	۲,۴۸۰	۲,۴۶۰	۲,۴۵۰	۲,۴۳۰	۲,۴۶۰	۲,۳۵۰	۲,۳۵۰	۲,۱۲۰	۲,۴۲۰	۲,۵۰۰	۲,۴۰۰	۲,۲۴۰	۲,۲۵۰	۲,۲۷۰	۲,۴۷۰	۲,۵۲۰	۲,۴۴۰	۲,۳۱۰	۲,۲۲۰	۲,۵۱۰	۲,۴۴۰	۲,۴۴۰		
Fe ³⁺	۰,۰۵۰	۰,۰۱۰	۰,۰۷۰	۰,۰۵۰	۰,۱۳۰	۰,۰۳۰	۰,۰۹۰	۰,۰۹۰	۰,۱۲۰	۰,۱۲۰	۰,۰۵۰	۰,۱۰۰	۰,۱۴۰	۰,۱۱۰	۰,۰۸۰	۰,۰۸۰	۰,۰۳۰	۰,۱۰۰	۰,۱۰۰	۰,۱۲۰	۰,۰۳۰	۰,۱۱۰	۰,۱۲۰		
Mn ²⁺	۰,۱۱۰	۰,۱۴۰	۰,۱۷۰	۰,۱۲۰	۰,۱۹۰	۰,۲۰۰	۰,۳۲۰	۰,۳۵۰	۰,۳۷۰	۰,۲۰۰	۰,۱۷۰	۰,۲۹۰	۰,۳۵۰	۰,۳۲۰	۰,۳۱۰	۰,۱۸۰	۰,۱۶۰	۰,۲۰۰	۰,۴۱۰	۰,۲۷۰	۰,۱۷۰	۰,۲۰۰	۰,۲۱۰		
Mg	۰,۲۱۰	۰,۲۰۰	۰,۲۱۰	۰,۲۱۰	۰,۱۹۰	۰,۲۱۰	۰,۱۹۰	۰,۱۹۰	۰,۱۵۰	۰,۲۰۰	۰,۲۱۰	۰,۲۰۰	۰,۱۸۰	۰,۱۵۰	۰,۱۸۰	۰,۲۱۰	۰,۲۰۰	۰,۲۱۰	۰,۱۶۰	۰,۱۷۰	۰,۲۱۰	۰,۲۱۰	۰,۲۰۰		
Ca	۰,۱۲۰	۰,۱۴۰	۰,۱۳۰	۰,۱۲۰	۰,۱۴۰	۰,۱۰۰	۰,۱۰۰	۰,۰۶۰	۰,۳۱۰	۰,۱۲۰	۰,۰۹۰	۰,۰۶۰	۰,۱۷۰	۰,۲۲۰	۰,۲۰۰	۰,۱۰۰	۰,۱۰۰	۰,۱۱۰	۰,۲۲۰	۰,۱۷۰	۰,۰۹۰	۰,۱۰۰	۰,۱۰۰		
اواروئیت	٪۰,۲۰	٪۰,۳۱	--	٪۰,۳۰	٪۰,۴۰	٪۰,۱۳	٪۰,۰۶	٪۰,۰۶	٪۰,۰۵	٪۰,۱۷	٪۰,۰۱	٪۰,۱۳	٪۰,۰۵	٪۰,۰۴	--	٪۰,۱۰	٪۰,۰۲	٪۰,۱۳	--	٪۰,۰۴	٪۰,۰۶	٪۰,۰۲	٪۰,۰۲		
اسپسارتین	٪۳,۵۸	٪۴,۷۰	٪۵,۷۳	٪۴,۰۴	٪۵,۶۶	٪۱,۶۷	٪۱,۱۷	٪۲,۴۳	٪۶,۸۱	٪۵,۵۴	٪۹,۷۲	٪۱,۵۳	٪۱۰,۷۱	٪۱۰,۳۵	٪۶,۰۵	٪۵,۴۴	٪۶,۶۵	٪۱۳,۵۳	٪۱۲,۴۵	٪۵,۶۵	٪۶,۶۱	٪۷,۰۰	٪۷,۰۰		
پیروپ	٪۶,۸۵	٪۶,۵۵	٪۶,۸۹	٪۶,۸۵	٪۶,۴۸	٪۷,۹۳	٪۷,۲۵	٪۷,۳۵	٪۷,۹۷	٪۷,۷۵	٪۷,۰۳	٪۵,۵۲	٪۵,۵۵	٪۵,۱۴	٪۵,۹۰	٪۶,۸۸	٪۷,۷۶	٪۶,۸۸	٪۵,۴۰	٪۵,۵۵	٪۶,۹۴	٪۶,۹۶	٪۶,۵۱		
الماندین	٪۸۴,۶۸	٪۸۲,۵۵	٪۸۲,۰۱	٪۸۴,۲۱	٪۸۱,۰۰	٪۸۲,۱۷	٪۸۱,۱۹	٪۸۲,۲۳	٪۷۰,۶۵	٪۸۰,۷۱	٪۸۳,۴۰	٪۷۹,۹۶	٪۷۴,۲۸	٪۷۴,۹۸	٪۷۵,۰۶	٪۸۲,۳۵	٪۸۴,۰۴	٪۸۱,۲۷	٪۷۲,۸۸	٪۷۴,۰۲	٪۸۳,۶۶	٪۸۱,۴۱	٪۸۱,۴۱		
گروسولار	٪۲,۵۲	٪۲,۸۰	٪۲,۷۷	٪۲,۶۱	٪۱,۸۱	٪۲,۱۲	٪۲,۶۴	٪۰,۹۶	٪۸۰,۵۰	٪۲,۱۹	٪۲,۸۳	٪۱,۲۷	٪۳,۹۸	٪۶,۱۳	٪۶,۰۷	٪۲,۷۷	٪۲,۴۴	٪۲,۴۳	٪۵,۹۱	٪۴,۷۸	٪۲,۸۷	٪۱,۷۳	٪۱,۴۱		
آندرادیت	٪۰,۲۷	٪۱,۲۸	٪۱,۱۰	٪۰,۳۷	٪۲,۱۳	--	٪۰,۴۹	٪۱,۰۶	٪۱,۷۶	٪۱,۳۱	--	٪۰,۵۶	٪۱,۵۷	٪۱,۰۱	٪۰,۶۷	٪۰,۳۱	٪۰,۲۲	٪۱,۰۶	٪۱,۲۷	٪۰,۸۵	--	٪۱,۶۱	٪۱,۶۱		
الکوروبومیت	٪۰,۰۷	٪۰,۱۷	٪۰,۴۶	٪۰,۷۳	٪۰,۴۱	--	--	--	--	٪۰,۱۷	٪۰,۱۶	٪۰,۰۶	--	٪۰,۱۵	--	--	٪۰,۶۸	٪۰,۰۴	٪۰,۱۴	--	٪۰,۰۹	٪۰,۰۶	٪۰,۱۰		
XPrp	۰,۰۶۹	۰,۰۶۷	۰,۰۷۰	۰,۰۶۹	۰,۰۶۶	۰,۰۷۰	۰,۰۶۴	۰,۰۶۴	۰,۰۵۱	۰,۰۶۹	۰,۰۷۱	۰,۰۶۶	۰,۰۵۲	۰,۰۶۰	۰,۰۷۰	۰,۰۶۸	۰,۰۷۰	۰,۰۵۵	۰,۰۵۹	۰,۰۷۰	۰,۰۷۱	۰,۰۶۹			
XSpS	۰,۰۳۴	۰,۰۴۸	۰,۰۵۸	۰,۰۴۱	۰,۰۶۴	۰,۰۶۸	۰,۱۰۹	۰,۱۲۰	۰,۱۲۶	۰,۰۶۹	۰,۰۵۶	۰,۰۹۹	۰,۱۱۸	۰,۱۰۹	۰,۱۰۵	۰,۰۶۱	۰,۰۵۴	۰,۰۶۸	۰,۱۲۷	۰,۱۲۷	۰,۰۶۷	۰,۰۷۱			
XGrs	۰,۰۴۱	۰,۰۴۷	۰,۰۴۴	۰,۰۴۶	۰,۰۴۶	۰,۰۳۳	۰,۰۳۲	۰,۰۲۱	۰,۱۰۵	۰,۰۳۹	۰,۰۲۱	۰,۰۵۷	۰,۰۷۵	۰,۰۶۸	۰,۰۴۲	۰,۰۳۷	۰,۰۳۷	۰,۰۵۸	۰,۰۴۰	۰,۰۳۵	۰,۰۳۳	۰,۰۳۳			
XFe	۰,۰۹۲۵	۰,۰۹۲۶	۰,۰۹۲۳	۰,۰۹۲۵	۰,۰۹۲۶	۰,۰۹۲۲	۰,۰۹۲۶	۰,۰۹۲۵	۰,۰۹۲۴	۰,۰۹۲۳	۰,۰۹۲۲	۰,۰۹۲۵	۰,۰۹۲۷	۰,۰۹۲۶	۰,۰۹۲۸	۰,۰۹۲۳	۰,۰۹۲۶	۰,۰۹۲۲	۰,۰۹۲۰	۰,۰۹۲۸	۰,۰۹۲۳	۰,۰۹۲۱			
Mg ≠	۰,۰۷۵	۰,۰۷۴	۰,۰۷۷	۰,۰۷۵	۰,۰۷۴	۰,۰۷۸	۰,۰۷۴	۰,۰۷۵	۰,۰۶۶	۰,۰۷۷	۰,۰۷۸	۰,۰۷۵	۰,۰۷۳	۰,۰۶۴	۰,۰۷۲	۰,۰۷۷	۰,۰۷۴	۰,۰۷۸	۰,۰۷۰	۰,۰۷۲	۰,۰۷۷	۰,۰۷۹			
غیرآرماتی	Non-ideal	Non-ideal	Non-ideal	Non-ideal	Non-ideal	Non-ideal	Non-ideal	Non-ideal	Non-ideal	Non-ideal	Non-ideal	Non-ideal	Non-ideal	Non-ideal	Non-ideal	Non-ideal	Non-ideal	Non-ideal	Non-ideal	Non-ideal	Non-ideal	Non-ideal	Non-ideal		

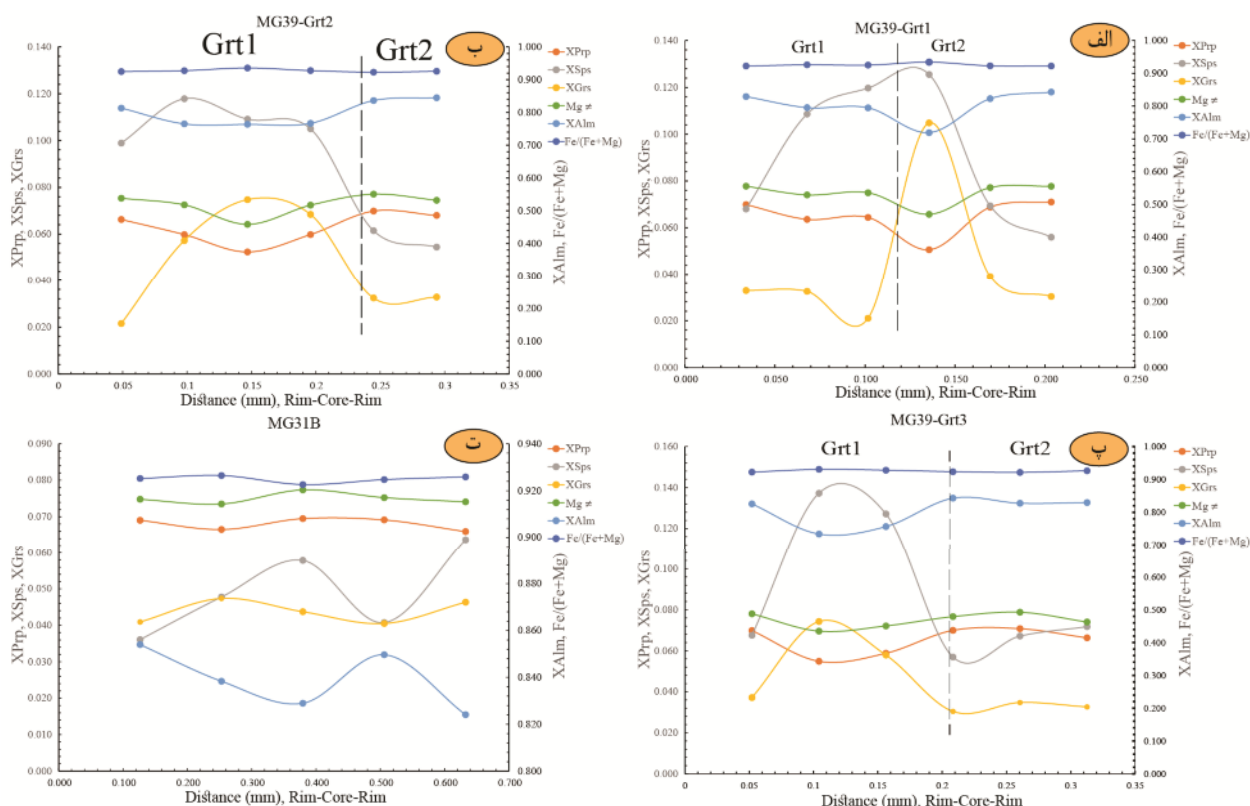
بی شکل است که نشان می دهند که این بخش از گارنت به احتمال بسیار برای رسیدن به تعادل سریع تر رشد کرده است. این موضوع با نیمرخ مسطح Ca و Mg در مرکز گارنت ۱ همخوانی دارد و نشان دهنده رشد در دما و فشار محدود است [۳۰]. شکل ۵ پ رشد گارنت ۲ را بهتر نشان می دهد، به طوری که مرکز گارنت ۲ با مقدار بسیار کم اسپسارتین (۵/۶۵٪؛ جدول ۲) پشتیبانی می شود [۳۰].

بیوتیت های کلریتی شده

نتایج تجزیه نقطه ای ترکیب شیمیایی بیوتیت های کلریتی شده در جدول ۳ ارائه شده اند. چنان که دیده می شود، مجموع کل اکسیدها (بدون در نظر گرفتن آب) کمتر از ۹۵-۹۶ درصد و مقدار K_2O نیز کمتر از ۸ درصد است. مجموع کل اکسیدهای موجود در کلریت به جز آب حدود ۸۹ درصد است. پس، این داده ها نشان می دهند که بیوتیت ها کلریتی شده اند. از این رو، شیمی کلریت با استفاده از نرم افزار WinCcac [۱۷] بر پایه اکسیژن رده بندی و تحلیل شد (جدول ۳).

منطقه بندی شیمیایی در نمونه های گارنت MG_{39} و $\text{MG}_{31\text{B}}$ در شکل ۵ نشان داده شده است. چنان که دیده می شود، در نمونه $\text{MG}_{31\text{B}}$ گارنت منطقه بندی بسیار شدیدی دیده نمی شود. از مرکز به سوی لبه، اسپسارتین کاهش می یابد، حال آنکه آلماندین افزایش می یابد، اما پیروپ، گروسولار و $\text{Fe}/(\text{Fe}+\text{Mg})$ به نسبت بدون منطقه بندی هستند. این واقعیت که $\text{Fe}/(\text{Fe}+\text{Mg})$ منطقه بندی شدید ندارد نشان می دهد که تغییرات دما طی رشد گارنت کم بوده است [۲۷، ۲۸]. گارنت های نیوهمپشایر در ایالات متحده آمریکا است [۲۹].

منطقه بندی شیمیایی در MG_{39} با تغییراتی همراه است به طوری که با وجود یک منطقه بندی شیمیایی عادی در گارنت نوع ۱، از مرکز به لبه کسرهای مولی اسپسارتین و گروسولار کاهش و کسرهای مولی آلماندین و پیروپ افزایش یافته و X_{Fe} بدون تغییر است البته این روند ادامه نیافته، بلکه در سطحی تقریباً ثابت معادل لبه گارنت نوع ۱ ادامه یافته است و اغلب روندی موازی هم دارند. گارنت ۱ سرشار از میانبرهای کوارتز



شکل ۵ الف تا پ) نیمرخ گارنت در نمونه MG_{39} ، ت) نیمرخ گارنت در نمونه $\text{MG}_{31\text{B}}$.

جدول ۳ نتایج داده‌های تجزیه نقطه‌ای بیوتیت‌های کلریتی شده و تعیین فرمول واحد ساختاری به همراه طبقه‌بندی و تعیین شرایط دمایی آن‌ها.

شماره نمونه	۲۸	۲۹	۳۰	۳۱	۳۲	۵۳	۵۵	۵۶	۵۷	۵۸	۵۹	۶۰	۶۲	۶۳
(%)SiO ₂	۲۸.۵۸۴	۲۵.۹۶۸	۲۷.۵۴۵	۲۷.۷۲۱	۳۱.۰۷۶	۳۰.۰۷۸	۲۷.۱۸۴	۲۸.۸۲۵	۲۸.۱۲۳	۳۰.۳۸۹	۲۵.۲۴۳	۲۵.۷۵۵	۲۸.۷۴۵	۲۷.۷۵۳
TiO ₂	۰.۹۱۸	۰.۳۳۵	۲.۱۵۴	۰.۷۸۹	۱.۳۰۴	۱.۵۸۶	۱.۰۲۹	۱.۳۳۴	۱.۷۷۷	۱.۵۷۱	۰.۶۸۷	۰.۸۰۹	۱.۴۱۳	۰.۹۲۷
Al ₂ O ₃	۲۱.۰۹۱	۲۱.۲۸۵	۱۹.۵۱۸	۱۸.۶۰۰	۱۹.۳۳۶	۲۰.۲۷۱	۲۰.۸۰۹	۲۰.۰۴۳	۲۰.۳۴۵	۱۹.۹۱۲	۲۱.۵۳۷	۲۱.۰۵۷	۲۰.۲۵۱	۲۰.۴۴۲
FeO	۲۷.۴۳۷	۳۰.۷۶۶	۲۹.۹۴۸	۳۰.۵۹۷	۲۷.۱۹۵	۲۵.۸۸۰	۲۵.۲۴۶	۲۶.۶۳۹	۲۶.۶۲۷	۲۵.۹۹۷	۲۹.۰۸۵	۲۸.۲۹۴	۲۵.۵۴۰	۲۷.۵۰۸
MnO	۰.۰۳۸	۰.۱۰۶	۰.۱۲۸	۰.۰۵۷	۰.۱۰۸	۰.۱۲۰	۰.۱۱۱	۰.۰۸۳	۰.۱۰۳	۰.۰۸۸	۰.۱۲۰	۰.۱۲۲	۰.۱۲۶	۰.۱۶۳
NiO	۰.۰۸۲	۰.۰۲۸	۰.۰۳۵	۰.۰۳۴	۰.۰۴۲	۰.۰۰۰	۰.۰۲۵	۰.۰۴۴	۰.۰۴۲	۰.۰۴۱	۰.۰۴۸	۰.۰۰۴	۰.۰۵۳	۰.۰۷۰
MgO	۶.۶۶۴	۷.۲۲۹	۶.۶۵۸	۶.۱۵۶	۶.۱۶۹	۷.۶۷۴	۸.۸۱۷	۸.۱۱۶	۸.۰۹۹	۷.۶۳۹	۹.۵۵۴	۹.۲۶۳	۸.۱۳۹	۸.۴۴۴
CaO	۰.۰۴۷	۰.۰۷۴	۰.۰۲۲	۰.۲۶۵	۰.۰۵۷	۰.۰۴۰	۰.۰۱۸	۰.۰۶۲	۰.۰۲۱	۰.۰۰۹	۰.۰۰۸	۰.۰۶۱	۰.۱۴۰	۰.۰۶۶
Na ₂ O	۰.۰۷۴	۰.۰۸۸	۰.۰۷۶	۰.۱۷۸	۰.۰۸۴	۰.۲۱۳	۰.۰۹۷	۰.۱۴۴	۰.۱۰۵	۰.۱۶۱	۰.۰۱۷	۰.۱۱۲	۰.۱۹۴	۰.۱۸۲
K ₂ O	۲.۴۲۲	۰.۳۷۸	۲.۵۸۰	۲.۳۰۵	۵.۶۳۳	۳.۹۸۵	۲.۰۸۳	۳.۱۶۲	۲.۹۶۶	۴.۱۳۷	۰.۹۵۵	۱.۲۳۰	۲.۶۲۸	۱.۹۹۰
F	۰.۲۹۱	۰.۰۱۹	۰.۲۳۲	۰.۰۷۶	۰.۲۶۰	۰.۱۴۱	۰.۴۰۶	۰.۳۱۷	۰.۴۰۱	۰.۰۰۰	۰.۱۵۴	۰.۱۹۹	۰.۱۱۷	۰.۱۱۷
Cl	۰.۰۲۰	۰.۰۰۴	۰.۰۱۷	۰.۰۱۰	۰.۰۴۹	۰.۰۲۵	۰.۰۳۴	۰.۰۴۷	۰.۰۲۹	۰.۰۴۵	۰.۰۱۷	۰.۰۲۵	۰.۰۳۶	۰.۰۵۱
O=F	۰.۱۲۳	۰.۰۰۸	۰.۰۵۸	۰.۰۳۲	۰.۱۱۰	۰.۰۵۹	۰.۱۷۱	۰.۱۵۵	۰.۱۳۴	۰.۱۶۹	۰.۰۰۰	۰.۰۶۵	۰.۰۰۹	۰.۰۴۹
O=Cl	۰.۰۰۵	۰.۰۰۱	۰.۰۰۴	۰.۰۰۲	۰.۰۱۱	۰.۰۰۶	۰.۰۰۸	۰.۰۱۱	۰.۰۰۷	۰.۰۱۰	۰.۰۰۴	۰.۰۰۶	۰.۰۰۸	۰.۰۱۲
مجموع (%)	۸۷.۵۴۱	۸۶.۲۸۱	۸۸.۸۲۲	۸۶.۷۵۴	۹۱.۱۸۳	۸۹.۹۶۸	۸۸.۷۰۰	۸۸.۷۲۶	۸۸.۵۰۴	۹۰.۳۱۱	۸۷.۲۷۷	۸۶.۸۱۶	۸۷.۳۳۷	۸۷.۱۲۲
[H ₂ O(c)]	۱۱.۰۳۰	۱۰.۸۷۸	۱۰.۹۹۴	۱۰.۷۷۹	۱۱.۳۴۸	۱۱.۴۳۵	۱۱.۰۲۲	۱۱.۰۹۸	۱۱.۱۰۸	۱۱.۳۰۶	۱۱.۰۴۲	۱۰.۹۲۷	۱۱.۱۵۲	۱۱.۰۰۸
FeO(c)(%)	۲۷.۴۳۷	۳۰.۷۶۶	۲۹.۹۴۸	۰.۰۰	۰.۰۰	۰.۰۰	۰.۰۰	۰.۰۰	۰.۰۰	۰.۰۰	۰.۰۰	۰.۰۰	۰.۰۰	۰.۰۰
(apfu)[Si]	۳.۰۶۷	۲.۸۰۴	۲.۹۲۳	۳.۰۷۳	۳.۲۴۵	۳.۱۳۴	۲.۹۰۴	۳.۰۶۲	۳.۰۰۳	۳.۱۶۶	۲.۷۴۱	۲.۸۰۶	۳.۰۷۰	۲.۹۵۱
Ti	۰.۰۷۴	۰.۰۲۸	۰.۱۵۵	۰.۰۶۶	۰.۱۰۲	۰.۱۲۴	۰.۰۸۴	۰.۱۰۷	۰.۱۴۲	۰.۱۲۳	۰.۰۵۶	۰.۰۶۶	۰.۱۱۴	۰.۰۷۶
Al	۲.۶۶۷	۲.۷۶۳	۲.۴۳۲	۲.۴۳۰	۲.۲۷۸	۲.۴۹۰	۲.۶۲۰	۲.۵۰۹	۲.۵۵۲	۲.۴۴۵	۲.۷۵۶	۲.۷۰۴	۲.۵۴۹	۲.۶۰۸
Fe(2+)	۲.۴۶۲	۲.۸۴۴	۲.۷۰۴	۲.۸۳۷	۲.۳۷۵	۲.۴۵۵	۲.۵۴۴	۲.۳۶۶	۲.۳۷۰	۲.۲۶۵	۲.۶۴۱	۲.۵۷۸	۲.۲۸۱	۲.۴۹۱
Mn	۰.۰۰۴	۰.۰۱۰	۰.۰۱۲	۰.۰۰۵	۰.۰۱۰	۰.۰۱۱	۰.۰۱۰	۰.۰۰۸	۰.۰۰۹	۰.۰۰۸	۰.۰۱۱	۰.۰۱۱	۰.۰۱۱	۰.۰۱۵
Ni	۰.۰۰۷	۰.۰۰۳	۰.۰۰۳	۰.۰۰۳	۰.۰۰۴	۰.۰۰۰	۰.۰۰۳	۰.۰۰۶	۰.۰۰۴	۰.۰۰۳	۰.۰۰۴	۰.۰۰۰	۰.۰۰۵	۰.۰۰۶
Mg	۱.۰۶۶	۱.۱۸۷	۱.۰۷۱	۱.۰۱۷	۰.۹۶۰	۱.۱۹۲	۱.۴۰۴	۱.۲۸۵	۱.۲۸۵	۱.۱۸۶	۱.۵۴۶	۱.۵۰۵	۱.۲۶۶	۱.۳۶۰
Ca	۰.۰۰۵	۰.۰۰۹	۰.۰۰۴	۰.۰۳۲	۰.۰۰۶	۰.۰۰۵	۰.۰۰۲	۰.۰۰۷	۰.۰۰۲	۰.۰۰۱	۰.۰۰۱	۰.۰۰۷	۰.۰۱۶	۰.۰۰۸
Na	۰.۰۱۵	۰.۰۱۹	۰.۰۱۶	۰.۰۳۸	۰.۰۱۷	۰.۰۴۳	۰.۰۲۰	۰.۰۲۰	۰.۰۲۲	۰.۰۳۳	۰.۰۰۴	۰.۰۲۴	۰.۰۳۰	۰.۰۳۸
K	۰.۳۳۲	۰.۰۵۳	۰.۳۵۵	۰.۳۲۶	۰.۷۵۰	۰.۵۳۰	۰.۲۸۴	۰.۴۴۸	۰.۴۰۳	۰.۵۵۰	۰.۱۳۴	۰.۱۷۱	۰.۳۵۸	۰.۲۷۵
F	۰.۱۰۲	۰.۰۰۷	۰.۰۸۱	۰.۰۲۷	۰.۰۸۷	۰.۰۴۸	۰.۱۲۹	۰.۱۲۹	۰.۱۰۹	۰.۱۳۵	۰.۰۰۰	۰.۰۵۴	۰.۰۰۸	۰.۰۴۱
Cl	۰.۰۰۴	۰.۰۰۱	۰.۰۰۳	۰.۰۰۲	۰.۰۰۹	۰.۰۰۵	۰.۰۰۶	۰.۰۰۹	۰.۰۰۵	۰.۰۰۸	۰.۰۰۳	۰.۰۰۵	۰.۰۰۷	۰.۰۱۰
OH(apfu)	۷.۸۹۴	۷.۹۹۳	۷.۹۱۶	۷.۹۷۱	۷.۹۰۴	۷.۹۴۸	۷.۸۵۵	۷.۸۶۳	۷.۸۸۶	۷.۸۵۷	۷.۹۹۷	۷.۹۴۲	۷.۹۴۵	۷.۹۵۰
[Si]	۳.۰۶۷	۲.۸۰۴	۲.۹۲۳	۳.۰۷۳	۳.۲۴۵	۳.۱۳۴	۲.۹۰۴	۳.۰۶۲	۳.۰۰۳	۳.۱۶۶	۲.۷۴۱	۲.۸۰۶	۳.۰۷۰	۲.۹۵۱
Al(IV)	۰.۹۲۳	۱.۱۴۰	۱.۰۲۷	۰.۹۲۷	۰.۷۵۵	۰.۸۶۶	۰.۹۳۸	۰.۹۹۷	۰.۹۳۲	۰.۸۳۴	۱.۲۵۹	۰.۹۳۰	۰.۹۳۰	۱.۰۵۰
مجموع چاروچی	۴.۰۰۰	۴.۰۰۰	۴.۰۰۰	۴.۰۰۰	۴.۰۰۰	۴.۰۰۰	۴.۰۰۰	۴.۰۰۰	۴.۰۰۰	۴.۰۰۰	۴.۰۰۰	۴.۰۰۰	۴.۰۰۰	۴.۰۰۰
[Al(VI)]	۱.۷۳۴	۱.۶۲۴	۱.۴۵۶	۱.۵۰۴	۱.۶۲۳	۱.۶۲۴	۱.۵۲۴	۱.۵۷۱	۱.۵۵۵	۱.۶۱۱	۱.۴۹۷	۱.۵۱۰	۱.۶۲۰	۱.۵۵۹
Ti	۰.۰۷۴	۰.۰۲۸	۰.۱۵۵	۰.۰۶۶	۰.۱۰۲	۰.۱۲۴	۰.۰۸۴	۰.۱۰۷	۰.۱۴۲	۰.۱۲۳	۰.۰۵۶	۰.۰۶۶	۰.۱۱۴	۰.۰۷۶
Fe2+	۲.۴۶۲	۲.۸۴۴	۲.۷۰۴	۲.۸۳۷	۲.۳۷۵	۲.۴۵۵	۲.۵۴۴	۲.۳۶۶	۲.۳۷۰	۲.۲۶۵	۲.۶۴۱	۲.۵۷۸	۲.۲۸۱	۲.۴۹۱
Mn	۰.۰۰۴	۰.۰۱۰	۰.۰۱۲	۰.۰۰۵	۰.۰۱۰	۰.۰۱۱	۰.۰۱۰	۰.۰۰۸	۰.۰۰۹	۰.۰۰۸	۰.۰۱۱	۰.۰۱۱	۰.۰۱۱	۰.۰۱۵
Ni	۰.۰۰۷	۰.۰۰۳	۰.۰۰۳	۰.۰۰۳	۰.۰۰۴	۰.۰۰۰	۰.۰۰۳	۰.۰۰۶	۰.۰۰۴	۰.۰۰۳	۰.۰۰۴	۰.۰۰۰	۰.۰۰۵	۰.۰۰۶
Mg	۱.۰۶۶	۱.۱۸۷	۱.۰۷۱	۱.۰۱۷	۰.۹۶۰	۱.۱۹۲	۱.۴۰۴	۱.۲۸۵	۱.۲۸۵	۱.۱۸۶	۱.۵۴۶	۱.۵۰۵	۱.۲۶۶	۱.۳۶۰
مجموع هشت	۵.۲۴۷	۵.۳۶۸	۵.۴۷۱	۵.۴۳۲	۵.۰۷۴	۵.۲۰۶	۵.۵۲۸	۵.۳۴۱	۵.۳۶۵	۵.۱۹۶	۵.۷۵۶	۵.۶۷۱	۵.۳۲۶	۵.۵۰۶
تهی‌جای هشت	۰.۶۵۴	۰.۳۱۴	۰.۵۲۹	۰.۵۶۸	۰.۹۲۶	۰.۷۹۴	۰.۴۵۲	۰.۶۵۹	۰.۶۳۵	۰.۸۰۴	۰.۲۴۵	۰.۳۹۹	۰.۶۲۴	۰.۴۹۴
[Ca]	۰.۰۰۵	۰.۰۰۹	۰.۰۰۴	۰.۰۳۲	۰.۰۰۶	۰.۰۰۵	۰.۰۰۲	۰.۰۰۷	۰.۰۰۲	۰.۰۰۱	۰.۰۰۱	۰.۰۰۷	۰.۰۱۶	۰.۰۰۸
Na	۰.۰۱۵	۰.۰۱۹	۰.۰۱۶	۰.۰۳۸	۰.۰۱۷	۰.۰۴۳	۰.۰۲۰	۰.۰۲۰	۰.۰۲۲	۰.۰۳۳	۰.۰۰۴	۰.۰۲۴	۰.۰۳۰	۰.۰۳۸
K	۰.۳۳۲	۰.۰۵۳	۰.۳۵۵	۰.۳۲۶	۰.۷۵۰	۰.۵۳۰	۰.۲۸۴	۰.۴۴۸	۰.۴۰۳	۰.۵۵۰	۰.۱۳۴	۰.۱۷۱	۰.۳۵۸	۰.۲۷۵
مجموع	۰.۳۵۲	۰.۰۸۱	۰.۳۷۵	۰.۳۹۶	۰.۷۷۴	۰.۵۷۷	۰.۳۰۶	۰.۴۵۵	۰.۴۲۷	۰.۵۸۳	۰.۱۲۸	۰.۲۰۲	۰.۴۱۴	۰.۳۲۱
[OH]	۷.۸۹۴	۷.۹۹۳	۷.۹۱۶	۷.۹۷۱	۷.۹۰۴	۷.۹۴۸	۷.۸۵۵	۷.۸۶۳	۷.۸۸۶	۷.۸۵۷	۷.۹۹۷	۷.۹۴۲	۷.۹۴۵	۷.۹۵۰
F	۰.۱۰۲	۰.۰۰۷	۰.۰۸۱	۰.۰۲۷	۰.۰۸۷	۰.۰۴۸	۰.۱۲۹	۰.۱۲۹	۰.۱۰۹	۰.۱۳۵	۰.۰۰۰	۰.۰۵۴	۰.۰۰۸	۰.۰۴۱
Cl	۰.۰۰۴	۰.۰۰۱	۰.۰۰۳	۰.۰۰۲	۰.۰۰۹	۰.۰۰۵	۰.۰۰۶	۰.۰۰۹	۰.۰۰۵	۰.۰۰۸	۰.۰۰۳	۰.۰۰۵	۰.۰۰۷	۰.۰۱۰
مجموع	۸.۰۰۰	۸.۰۰۰	۸.۰۰۰	۸.۰۰۰	۸.۰۰۰	۸.۰۰۰	۸.۰۰۰	۸.۰۰۰	۸.۰۰۰	۸.۰۰۰	۸.۰۰۰	۸.۰۰۰	۸.۰۰۰	۸.۰۰۰
[Si(T1)]	۲.۱۳۴	۱.۷۲۱	۱.۹۴۷	۱.۱۴۷	۲.۴۹۰	۲.۲۶۸	۱.۸۰۸	۲.۱۲۳	۲.۰۰۵	۲.۳۳۲	۱.۴۸۲	۱.۶۱۳	۲.۱۴۱	۱.۹۰۱
Al(T1)	۰.۹۳۳	۱.۱۴۰	۱.۰۲۷	۰.۹۲۷	۰.۷۵۵	۰.۸۶۶	۱.۰۹۶	۰.۹۳۸	۰.۹۹۷	۰.۸۳۴	۱.۲۵۹	۱.۱۹۴	۰.۹۳۰	۱.۰۵۰
Si(T2)	۰.۹۳۳	۱.۱۴۰	۱.۰۲۷	۰.۹۲۷	۰.۷۵۵	۰.۸۶۶	۱.۰۹۶	۰.۹۳۸	۰.۹۹۷	۰.۸۳۴	۱.۲۵۹	۱.۱۹۴	۰.۹۳۰	۱.۰۵۰
Al(T2)	۱.۷۳۴	۱.۶۲۴	۱.۴۵۶	۱.۵۰۴	۱.۶۲۳	۱.۶۲۴	۱.۵۲۴	۱.۵۷۱	۱.۵۵۵	۱.۶۱۱	۱.۴۹۷	۱.۵۱۰	۱.۶۲۰	۱.۵۵۹
Mg(M1+M4)	۰.۵۸۳	۰.۶۶۸	۰.۵۶۵	۰.۵۶۶	۰.۵۰۹	۰.۶۳۲	۰.۷۶۶	۰.۶۹۲	۰.۶۸۰	۰.۶۳۲	۰.۸۵۲	۰.۸۲۶	۰.۶۹۶	۰.۷۴۳
Fe(M1+M4)	۱.۳۴۶	۱.۵۹۵	۱.۴۲۵	۱.۵۷۷	۱.۲۶۰	۱.۱۹۵	۱.۳۷۶	۱.۲۷۵	۱.۲۵۴	۱.۲۰۷	۱.۴۵۵	۱.۴۱۵	۱.۲۲۶	۱.۳۶۲
Al(M1+M4)	۰.۹۳۳	۱.۱۴۰	۱.۰۲۷	۰.۹۲۷	۰.۷۵۵	۰.۸۶۶	۱.۰۹۶	۰.۹۳۸	۰.۹۹۷	۰.۸۳۴	۱.۲۵۹	۱.۱۹۴	۰.۹۳۰	۱.۰۵۰
X(M1+M4)	۰.۴۰۱	۰.۲۴۲	۰.۲۱۵	۰.۲۸۹	۰.۳۴۴	۰.۳۷۹	۰.۲							

ادامه جدول ۳

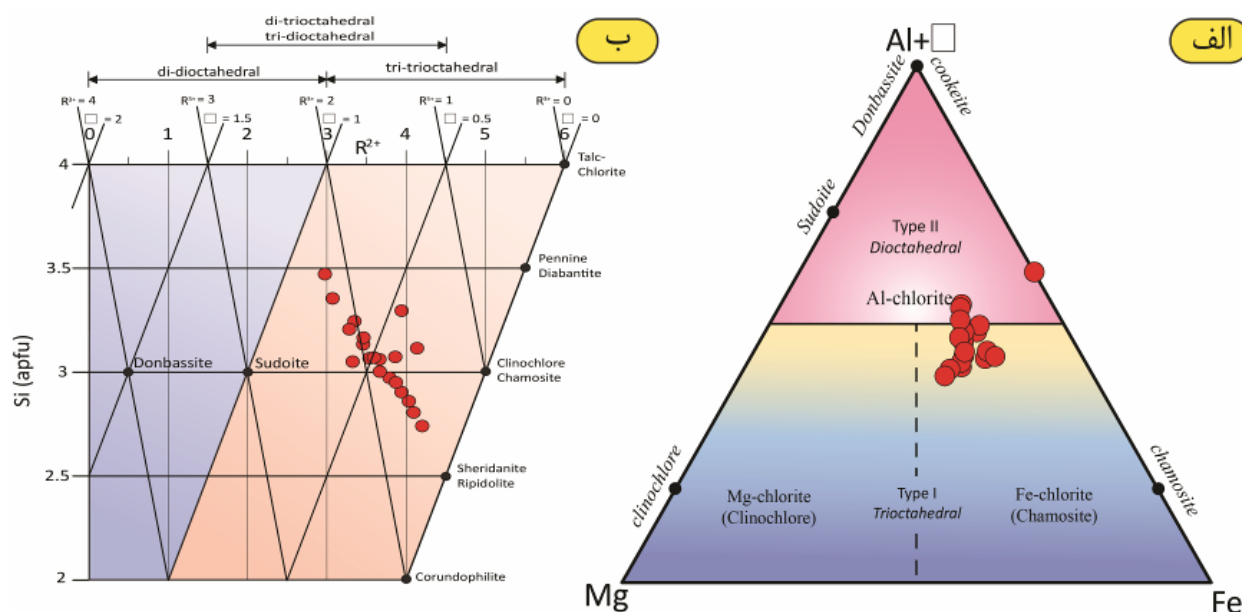
No. Samples	۲۸	۲۹	۳۰	۳۱	۳۲	۵۳	۵۵	۵۶	۵۷	۵۸	۵۹	۶۰	۶۲	۶۳
XFe(M2M3)	۰.۵۹۳	۰.۶۲۲	۰.۶۴۳	۰.۶۷۳	۰.۶۵۸	۰.۵۸۳	۰.۵۹۶	۰.۵۸۵	۰.۵۸۱	۰.۵۸۴	۰.۵۹۷	۰.۵۹۱	۰.۵۵۵	۰.۵۹۱
XMg(M2M3)	۰.۲۵۷	۰.۲۶۱	۰.۲۵۵	۰.۲۴۱	۰.۲۶۶	۰.۳۰۸	۰.۳۲۲	۰.۳۱۸	۰.۳۱۵	۰.۳۰۶	۰.۳۵۰	۰.۳۴۵	۰.۳۱۵	۰.۳۲۳
XAl(M2M3)	۰.۱۵۱	۰.۱۱۷	۰.۱۰۲	۰.۰۸۶	۰.۰۷۶	۰.۱۰۸	۰.۰۷۳	۰.۰۹۷	۰.۱۰۴	۰.۱۱۰	۰.۰۵۳	۰.۰۶۴	۰.۱۳۰	۰.۰۸۷
XFe(M1)	۰.۳۴۴	۰.۴۱۱	۰.۴۱۰	۰.۴۴۴	۰.۳۰۴	۰.۳۰۷	۰.۳۴۶	۰.۳۳۵	۰.۳۳۲	۰.۳۱۹	۰.۳۴۹	۰.۳۴۸	۰.۳۳۶	۰.۳۴۹
XMg(M1)	۰.۱۴۹	۰.۱۷۲	۰.۱۶۳	۰.۱۵۹	۰.۱۲۳	۰.۱۶۲	۰.۱۹۲	۰.۱۸۲	۰.۱۸۰	۰.۱۶۷	۰.۲۰۴	۰.۲۰۳	۰.۱۹۱	۰.۱۹۰
XAl(M1)	۰.۲۰۶	۰.۱۸۴	۰.۲۲۳	۰.۲۲۵	۰.۴۲۰	۰.۳۱۴	۰.۳۱۶	۰.۲۹۰	۰.۲۸۰	۰.۲۹۳	۰.۳۴۰	۰.۳۲۲	۰.۲۱۵	۰.۲۸۷
XVacancy(M1)]	۰.۳۰۱	۰.۲۳۴	۰.۲۰۴	۰.۱۷۲	۰.۱۵۳	۰.۲۱۷	۰.۱۴۶	۰.۱۹۴	۰.۲۰۹	۰.۲۲۰	۰.۱۰۶	۰.۱۲۷	۰.۲۵۹	۰.۱۷۴
[Si]	۳.۰۶۷	۲.۸۶۰	۲.۹۷۳	۳.۰۷۳	۳.۲۴۵	۳.۱۳۴	۲.۹۰۴	۳.۰۶۲	۳.۰۰۳	۳.۱۶۶	۲.۷۴۱	۲.۸۰۶	۳.۰۷۰	۲.۹۵۱
Fe(Fe+Mg)	۰.۶۹۸	۰.۷۰۵	۰.۷۱۶	۰.۷۳۶	۰.۷۱۲	۰.۶۵۴	۰.۶۴۳	۰.۶۴۸	۰.۶۴۸	۰.۶۵۶	۰.۶۳۱	۰.۶۳۲	۰.۶۳۸	۰.۶۴۷
Fe(total)	۲.۴۶۲	۲.۸۳۴	۲.۷۰۴	۲.۸۳۷	۲.۳۷۵	۲.۲۵۵	۲.۵۲۴	۲.۴۶۶	۲.۳۷۰	۲.۲۶۵	۲.۶۴۱	۲.۵۷۸	۲.۲۸۱	۲.۴۹۱
جمعیت هشت وجهی	۵.۳۴۷	۵.۶۸۶	۵.۴۲۱	۵.۴۳۲	۵.۰۷۴	۵.۲۰۶	۵.۵۴۸	۵.۳۴۱	۵.۳۶۵	۵.۱۹۶	۵.۷۵۶	۵.۶۷۱	۵.۳۲۶	۵.۵۰۶
تهی جا	۰.۶۵۴	۰.۳۱۴	۰.۵۷۹	۰.۵۶۸	۰.۹۲۶	۰.۷۹۴	۰.۴۵۲	۰.۶۵۹	۰.۶۳۵	۰.۸۰۴	۰.۲۴۵	۰.۳۲۹	۰.۶۷۴	۰.۴۹۴
(XAl+XVacancy)	۳.۳۲۱	۳.۰۷۸	۳.۰۶۲	۲.۹۹۸	۳.۳۰۵	۳.۲۸۴	۳.۰۷۲	۳.۱۶۸	۳.۱۸۷	۳.۲۴۹	۳.۰۰۱	۳.۰۳۳	۳.۲۲۳	۳.۱۰۳
(Fe۲+Mg)	۳.۵۲۸	۴.۰۲۱	۳.۷۷۵	۳.۸۵۴	۳.۳۳۵	۳.۴۴۷	۳.۹۲۸	۳.۶۵۱	۳.۶۵۵	۳.۴۵۱	۴.۱۸۷	۴.۰۸۳	۳.۵۷۷	۳.۸۵۰
R2+	۳.۵۲۸	۴.۰۳۴	۳.۷۷۰	۳.۸۶۳	۳.۳۴۸	۳.۴۵۸	۳.۹۴۱	۳.۶۶۴	۳.۶۶۸	۳.۴۶۳	۴.۲۰۳	۴.۰۹۴	۳.۵۹۳	۳.۸۷۱
R3+	۱.۸۰۸	۱.۶۵۱	۱.۶۳۱	۱.۵۷۰	۱.۷۲۶	۱.۷۴۸	۱.۶۰۸	۱.۶۷۷	۱.۶۹۷	۱.۷۳۴	۱.۵۵۳	۱.۵۷۷	۱.۷۳۳	۱.۶۳۴
[Al](Al+Mg+Fe۲+)	۰.۴۳۱	۰.۴۰۷	۰.۳۹۷	۰.۳۸۷	۰.۴۱۶	۰.۴۱۹	۰.۴۰۰	۰.۴۰۷	۰.۴۱۱	۰.۴۱۵	۰.۳۹۷	۰.۳۹۸	۰.۴۱۶	۰.۴۰۴
Mg(Mg+Fe۲+)	۰.۳۰۲	۰.۲۹۵	۰.۲۸۵	۰.۲۶۴	۰.۲۸۸	۰.۳۴۶	۰.۳۵۸	۰.۳۵۲	۰.۳۵۲	۰.۳۴۴	۰.۳۶۹	۰.۳۶۹	۰.۳۶۲	۰.۳۵۳
AlVI(Si+AlIV)]	۰.۲۳۳	۰.۲۸۵	۰.۲۵۷	۰.۲۳۲	۰.۱۸۹	۰.۲۱۶	۰.۲۷۴	۰.۲۳۵	۰.۲۴۹	۰.۲۰۹	۰.۳۱۵	۰.۲۹۸	۰.۲۳۲	۰.۲۶۲
%[Al-chl]	۲۵.۳۴۳	۲۴.۴۷۶	۲۳.۷۳۳	۲۳.۶۸۰	۲۳.۹۸۴	۲۴.۵۴۶	۲۴.۰۲۹	۲۴.۰۲۴	۲۴.۴۹۳	۲۴.۱۴۹	۲۴.۲۴۳	۲۴.۱۷۳	۲۴.۵۲۷	۲۴.۱۱۱
Fe-chl	۵۴.۳۹۹	۵۴.۴۹۴	۵۵.۷۸۷	۵۸.۳۳۱	۵۶.۴۶۹	۵۱.۹۴۶	۵۰.۲۱۵	۵۱.۳۶۶	۵۰.۸۴۱	۵۲.۴۱۵	۴۸.۵۵۲	۴۸.۹۲۶	۵۰.۵۳۶	۵۰.۷۵۴
Mg-chl]	۲۰.۲۵۷	۲۱.۰۳۰	۲۰.۴۸۱	۱۸.۹۸۹	۱۹.۳۶۸	۲۳.۵۰۸	۲۵.۷۵۶	۲۴.۶۱۰	۲۴.۶۶۶	۲۳.۴۳۷	۲۷.۲۰۶	۲۶.۹۰۱	۲۴.۹۳۷	۲۵.۱۳۶
کلیونکر	۳۰.۱۸۵	۲۹.۴۴۸	۲۸.۲۹۵	۲۶.۳۶۱	۲۸.۷۱۱	۳۴.۴۷۴	۳۵.۶۶۰	۳۵.۱۲۳	۳۵.۰۶۹	۳۴.۲۹۷	۳۶.۸۳۴	۳۶.۷۵۱	۳۶.۱۱۲	۳۵.۱۷۶
Chamosite	۶۹.۷۱۷	۷۰.۳۰۷	۷۱.۳۹۶	۷۳.۵۰۰	۷۱.۰۰۳	۶۵.۲۲۰	۶۴.۰۸۵	۶۴.۶۷۳	۶۴.۶۷۸	۶۵.۴۷۸	۶۲.۹۰۴	۶۲.۹۷۴	۶۳.۵۷۰	۶۴.۴۳۷
Pennantite]	۰.۰۹۸	۰.۲۴۵	۰.۳۰۹	۰.۱۳۹	۰.۲۸۶	۰.۳۰۶	۰.۲۵۵	۰.۲۰۴	۰.۲۵۳	۰.۲۲۵	۰.۲۶۳	۰.۲۷۵	۰.۳۱۸	۰.۳۸۷
زیرگروه (R)	tri-tri	tri-tri	tri-tri	tri-tri	tri-tri	tri-tri	tri-tri	tri-tri	tri-tri	tri-tri	tri-tri	tri-tri	tri-tri	tri-tri
Subgroup (Vacancy)	tri-tri	tri-tri	tri-tri	tri-tri	tri-tri	tri-tri	tri-tri	tri-tri	tri-tri	tri-tri	tri-tri	tri-tri	tri-tri	tri-tri
نوع	Type-I	Type-I	Type-I	Type-I	Type-I	Type-I	Type-I	Type-I	Type-I	Type-I	Type-I	Type-I	Type-I	Type-I
[۳۱]	Al chlorite	Fe chlorite	Fe chlorite	Fe chlorite	Al chlorite	Al chlorite	Al chlorite	Al chlorite	Al chlorite	Al chlorite	Al chlorite	Al chlorite	Al chlorite	Al chlorite
[۳۳]	Chamosite	Chamosite	Chamosite	Chamosite	Chamosite	Chamosite	Chamosite	Chamosite	Chamosite	Chamosite	Chamosite	Chamosite	Chamosite	Chamosite
[۳۴]	Chamosite	Chamosite	Chamosite	Chamosite	Chamosite	Chamosite	Chamosite	Chamosite	Chamosite	Chamosite	Chamosite	Chamosite	Chamosite	Chamosite
TKML87-AlIV(°C)	۲۶۸	۳۱۲	۲۸۹	۲۶۹	۲۳۱	۲۵۰	۲۹۸	۲۶۵	۲۷۸	۲۴۴	۳۳۲	۳۱۸	۲۶۲	۲۸۸
TC88-AlIV(°C)	۲۳۸	۳۰۵	۲۶۹	۲۳۶	۱۸۱	۲۱۷	۲۹۱	۲۴۰	۲۵۹	۲۰۷	۳۴۳	۳۲۲	۲۳۷	۲۷۶

فرمول کلی کلریت‌ها

$$R_x^{2+} R_y^{3+} \square_{12-x-y}^{VI} (Si_z R_{8-z}^{3+})_8^{IV} O_{20} (OH)_{16}$$

$$R^{2+} \text{ کاتیون‌های دوزرفیتی، } R^{3+} = \text{کاتیون‌های سه ظرفیتی و } \square = \text{تهی‌جای (جای) است. تنوع ترکیب کلریت‌ها از چهاروجهی‌ها و هشت‌وجهی‌های آن ناشی می‌شود. بر این اساس، کلریت‌ها با استفاده از R و تهی‌جاها رده‌بندی می‌شوند. بر پایه جدول ۳، کلریت‌ها در گروه II و بیشتر در گروه I قرار دارند. در کلریت‌های سازنده سنگ، Mg, Fe و Al کاتیون‌های اصلی هشت‌وجهی هستند و افزایش Al اغلب با افزایش تهی‌جاها همراه است، بنابراین کلریت‌های گروه I آن‌هایی دارای $X_{Mg} + X_{Fe(tot)} \geq X_{Al} + X_{\square}$ و کلریت‌های گروه II دارای $X_{Mg} + X_{Fe(tot)} < X_{Al} + X_{\square}$ (X: تعداد اتم‌ها در واحد فرمولی)$$

هستند [۳۱] و براساس رده بندی مرجع [۳۲]، کلریت‌های گیسور در گستره آهن و آلومینیم‌دار قرار دارند (شکل ۶ الف). آنها بر اساس نمودار $X_{Mg-^{VI}R^{3+}}$ [۳۲] و نمودار سامانه متحد R^{2+} -Si [۳۳] در زیرگروه سه-سه/سه-دو و یا دو-سه-هشت-وجهی (شکل ۶ ب) و در گستره شاموزیت تا سدوئیت [۳۳]، رده‌بندی می‌شوند. این دو گروه در سنگ‌های دگرگونی با ترکیبات و شرایط دما-فشار مختلف ایجاد می‌شوند. کلریت‌های نوع II از متاپلیت‌های دما پایین/فشار متوسط هستند و در متاپلیت‌های غنی از Al تشکیل می‌شوند و کلریت‌های نوع I از متاپلیت‌های فشار پایین هستند و با Bt+Grt در دمای پایین و با Bt+Grt+St در رخساره آمفیبولیت همزیست هستند [۳۱].



شکل ۶ الف) نمونه‌های کلریت گیسور که در هر دو گروه I و II قرار دارند [۳۱]. ب) نمونه‌های کلریت گیسور که زیرگروه سه-سه / سه-دو ویا دو-سه هشت وجهی هستند [۳۳].

استارولیت

فرمول ساختاری استارولیت بر اساس ۴۶ اکسیژن محاسبه شد (جدول ۴). بر پایه نتایج تجزیه نقطه‌ای مقدار ZnO کمتر از ۷/۴ Wt% است. بنابراین آن‌ها در رده استارولیت‌های روی‌دار قرار ندارند [۳۵]. مقدار $Fe*100/(Fe+Mg+Mn)$ بین ۸۸/۴۹

تا ۹۰/۷۷ درصد تغییر می‌کند، بنابراین استارولیت آهن‌دار است [۲۴]. این داده‌ها نشان می‌دهند که استارولیت آهن‌دار می‌تواند در محیط دگرگونی که آندالوزیت تشکیل می‌شود به وجود آید [۲۴].

جدول ۴ نتایج تجزیه نقطه‌ای استارولیت و محاسبه فرمول ساختاری آن.

شماره نمونه	۱	۲	۳	۴	۵	۶	۷	۸
SiO ₂	۲۷/۷۰	۲۷/۰۳۳	۲۷/۶۷۷	۲۷/۲۴۷	۲۷/۳۵۵	۲۷/۱۶۷	۲۸/۵۵۸	۲۷/۷۳۳
TiO ₂	۰/۲۵	۰/۵۰۸	۰/۲۱۸	۰/۰۰	۰/۰۰	۰/۰۰	۰/۰۵۴	۰/۳۶۸
Al ₂ O ₃	۵۶/۰۰	۵۶/۲۲	۵۶/۲۳۱	۵۶/۴۴۳	۵۶/۷۱۹	۵۶/۶۸۴	۵۶/۸۹	۵۶/۳۰۱
FeO	۱۲/۱۹	۱۲/۶۱۴	۱۲/۴۵۵	۱۲/۴۳۵	۱۲/۵۹	۱۲/۵۰۲	۱۱/۸۷۶	۱۲/۰۳۸
ZnO	۱/۰۳	۰/۹۸۵	۱/۰۳۷	۱/۰۶۲	۰/۷۹۷	۰/۹۲۸	۰/۹۰۲	۰/۸۳۶
MnO	۰/۱۴	۰/۱۳۸	۰/۱۲۶	۰/۱۵۲	۰/۱۸۴	۰/۱۰۶	۰/۱۴۵	۰/۱۵۹
MgO	۰/۶۶	۰/۶۵۳	۰/۶۳۹	۰/۷۵۴	۰/۸۱۴	۰/۷۷۱	۰/۶۷۵	۰/۷
CaO	۰/۰۱	۰/۰۰	۰/۰۰۴	۰/۰۰۱	۰/۰۰	۰/۰۰	۰/۰۱۱	۰/۰۱۸
مجموع	۹۷/۹۷	۹۸/۱۵۱	۹۸/۳۸۷	۹۸/۰۹۴	۹۸/۴۵۹	۹۸/۱۵۸	۹۹/۱۱۱	۹۸/۱۵۳
Si	۷/۶۴	۷/۴۶	۷/۶۱	۷/۵۲	۷/۵۱	۷/۴۹	۷/۷۵	۷/۶۲
Al ^(iv)	۰/۳۶	۰/۵۴	۰/۳۹	۰/۴۸	۰/۴۹	۰/۵۱	۰/۲۵	۰/۳۸
Al ^(vi)	۱۷/۸۳	۱۷/۷۶	۱۷/۸۳	۱۷/۸۷	۱۷/۸۸	۱۷/۹۰	۱۷/۹۵	۱۷/۸۵
Ti	۰/۰۵	۰/۱۱	۰/۰۵	۰/۰۰	۰/۰۰	۰/۰۰	۰/۰۱	۰/۰۸
Mg	۰/۲۷	۰/۲۷	۰/۲۶	۰/۳۱	۰/۳۳	۰/۳۲	۰/۲۷	۰/۲۹
Fe ^{۲+}	۲/۸۱	۲/۹۱	۲/۸۶	۲/۸۷	۲/۸۹	۲/۸۸	۲/۷۰	۲/۷۷
Mn	۰/۰۳	۰/۰۳	۰/۰۳	۰/۰۴	۰/۰۴	۰/۰۲	۰/۰۳	۰/۰۴
Zn	۰/۲۱	۰/۲۰	۰/۲۱	۰/۲۲	۰/۱۶	۰/۱۹	۰/۱۸	۰/۱۷
Ca	۰/۰۰	۰/۰۰	۰/۰۰	۰/۰۰	۰/۰۰	۰/۰۰	۰/۰۰	۰/۰۱
XFe	۰/۸۹	۰/۹۰	۰/۹۰	۰/۸۸	۰/۸۷	۰/۸۸	۰/۸۹	۰/۸۹
XMg	۰/۱۱	۰/۱۰	۰/۱۰	۰/۱۲	۰/۱۳	۰/۱۲	۰/۱۱	۰/۱۱
Fe*100/(Fe+Mg+Mn)	۹۰/۲۷	۹۰/۶۳	۹۰/۷۷	۸۹/۲۵	۸۸/۴۹	۸۹/۴۱	۸۹/۷۹	۸۹/۵۲
Ferroan,Zincian	Ferroan	Ferroan	Ferroan	Ferroan	Ferroan	Ferroan	Ferroan	Ferroan

میکای سفید

کوارتز [۳۸] با استفاده از برنامه GTB [۱۶] محاسبه گردید و سپس از روش مقدار تیتان در مسکویت [۳۹، ۴۰] مقدار دما ارزیابی شد. مقدار فشار و دما به ترتیب در گستره ۴/۴ kbar - ۴/۳ و °C ۵۵۸-۵۵۰ بدست آمد و تعادلات فازی برای نمونه‌ی متاپلیتی با ترموکالک [۱۴] بررسی شد (جدول ۶). شرایط دما-فشار متوسط برای ترکیب‌های مرکز کانی‌های متاپلیتی در نمونه MG_{31B} با این فرض که پلاژیوکلاز حدواسط و بیوتیت‌ها سالم و از نوع آنیت و فلوگوپیت باشند °C ۶۰۱ و ۴/۲ kbar بدست آمد (جدول ۷).

مدل‌سازی ترمودینامیکی

بر پایه ترکیب شیمیایی سنگ کل دو نمونه MG₃₉ و MG_{31B} (جدول ۸) و کانی‌های موجود در این نمونه سنگ‌ها، تعادلات فازی از متاپلیت‌های گیسور در سامانه MnNCKFMASH (MnO-Na₂O-CaO-K₂O-FeO-MgO-Al₂O₃-SiO₂-H₂O) بررسی شد. نمودارهای فشار-دما (P-T) شبه مقاطع (با نمودارهای مجموعه کانی، MADS) برای این متاپلیت‌ها با استفاده از برنامه فورترن Gibbs [۱۵] رسم شد. در این برنامه از بانک‌های اطلاعاتی HP98 [۳۶] و SPaC 2014 [۴۱] استفاده گردید.

نتایج تجزیه نقطه‌ای ترکیب شیمیایی میکای سفید در جدول ۵ آمده است. فرمول ساختاری میکا بر پایه ۱۱ اکسیژن محاسبه شد. مجموع کل اکسیدها بین ۹۴/۶۵ و ۹۸/۰۵ درصد است. Fe²⁺ بین ۰/۰۱۶ و ۰/۰۶۱ و Fe³⁺ بین ۰/۰۰۰ و ۰/۰۳۸ درصد تغییر می‌کند. Mg بین ۰/۰۲۶ و ۰/۰۳۸ و Na بین ۰/۰۷۵ و ۰/۱۸۳ درصد در تغییر است که نشان دهنده جایگزینی قابل ملاحظه عضو پایانی پاراگونیت است، بنابراین جانشینی KNa₁ در جایگاه A فرمول ساختاری آن رخ می‌دهد [۲۸]. سازندهای سلاودونیت و فروسلادونیت در آن ناچیز است. مقدار فعالیت اعضای پایانی میکای سفید که براساس مرجع [۳۶] محاسبه شده‌اند در جدول ۵ آمده‌اند.

برآورد شرایط P-T دگرگونی

زمین دما-فشارسنجی

شرایط فشار-دمای دگرگونی بوسیله زمین دما-فشارسنجی های مرسوم محاسبه شده‌اند. در اینجا از آنجا که داده‌های مربوط به بیوتیت جایگزینی آن را با کلریت تأیید می‌کند نمی‌توان از روش بیوتیت-گارنت [۳۷] استفاده کرد. بنابراین نخست مقدار فشار از روش گارنت-مسکویت-سیلیمانیت-

جدول ۵ نتایج تجزیه نقطه‌ای میکای سفید و محاسبه فرمول ساختاری آن.

شماره نمونه	۱	۲	۳	۴	۵	۶	۷	۸	۹	۱۰	۱۱	۱۲
SiO ₂	۴۷/۱۶	۴۶/۰۷	۴۶/۰۰	۴۶/۴۸	۴۶/۷۵	۴۶/۹۲	۴۶/۹۱	۴۸/۳۳	۴۸/۴۷	۴۷/۸۹	۴۸/۵۸	۴۷/۸۴
TiO ₂	۰/۵۳	۰/۵۶	۰/۳۸	۰/۴۹	۰/۳۴	۰/۳۲	۰/۳۴	۰/۲۲	۰/۲۶	۰/۲۳	۰/۱۶	۰/۲۲
Al ₂ O ₃	۳۷/۰۴	۳۷/۰۲	۳۷/۱۴	۳۷/۰۳	۳۷/۳	۳۷/۱۹	۳۷/۰۲	۳۸/۴۱	۳۸/۵	۳۸/۲۹	۳۸/۲۲	۳۷/۹۱
Fe ₂ O ₃	۰/۷۶	۰/۰۰	۰/۰۰	۰/۰۰	۰/۰۰	۰/۰۰	۰/۰۰	۰/۰۰	۰/۰۰	۰/۰۰	۰/۰۰	۰/۰۰
FeO	۰/۲۹	۱/۰۳	۱/۰۱	۰/۹۸	۰/۸۹	۱/۰۳	۱/۱۱	۰/۷۲	۰/۶۳	۰/۶۹	۰/۶۷	۰/۶۴
MnO	۰/۰۰	۰/۰۰	۰/۰۰	۰/۰۰	۰/۰۲	۰/۰۱	۰/۰۲	۰/۰۲	۰/۰۲	۰/۰۰	۰/۰۰	۰/۰۱
MgO	۰/۳۴	۰/۳۱	۰/۳۲	۰/۲۸	۰/۲۷	۰/۳۳	۰/۳۹	۰/۳۶	۰/۲۹	۰/۳۵	۰/۳۸	۰/۳۴
CaO	۰/۰۵	۰/۰۱	۰/۰۱	۰/۰۰	۰/۰۰	۰/۰۰	۰/۰۴	۰/۰۳	۰/۰۰	۰/۰۲	۰/۰۲	۰/۰۰
Na ₂ O	۰/۵۹	۱/۱۱	۰/۹۹	۰/۹۷	۱/۰۷	۰/۹۶	۰/۹	۱/۲۹	۱/۴۹	۱/۴۲	۱/۲	۱/۴۳
K ₂ O	۷/۸۹	۹/۴	۹/۴۱	۹/۴۱	۹/۳۷	۹/۱۶	۹/۴۹	۸/۵۷	۸/۳۸	۸/۱	۸/۴۸	۸/۶۴
مجموع	۹۴/۶۵	۹۵/۵۲	۹۵/۲۵	۹۵/۶۴	۹۵/۹۱	۹۵/۹۲	۹۶/۲۲	۹۷/۹۴	۹۸/۰۵	۹۶/۹۸	۹۷/۷۱	۹۷/۰۲
Si	۳/۰۹	۳/۰۳۷	۳/۰۳۹	۳/۰۵۵	۳/۰۵۹	۳/۰۶۸	۳/۰۶۶	۳/۰۷۶	۳/۰۷۸	۳/۰۷۲	۳/۰۹۴	۳/۰۷۸
Ti	۰/۰۲۶	۰/۰۲۸	۰/۰۱۹	۰/۰۲۴	۰/۰۱۷	۰/۰۱۶	۰/۰۱۷	۰/۰۱۱	۰/۰۱۳	۰/۰۱۱	۰/۰۰۸	۰/۰۱
Al	۲/۸۶۱	۲/۸۷۷	۲/۸۹۲	۲/۸۷	۲/۸۷۸	۲/۸۶۷	۲/۸۵۳	۲/۸۸۲	۲/۸۸۳	۲/۸۹۶	۲/۸۷	۲/۸۷۵
Fe ³⁺	۰/۰۳۸	۰/۰۰	۰/۰۰	۰/۰۰	۰/۰۰	۰/۰۰	۰/۰۰	۰/۰۰	۰/۰۰	۰/۰۰	۰/۰۰	۰/۰۰
Fe ²⁺	۰/۰۱۶	۰/۰۵۷	۰/۰۵۶	۰/۰۵۴	۰/۰۴۸	۰/۰۵۷	۰/۰۶۱	۰/۰۳۸	۰/۰۳۳	۰/۰۳۷	۰/۰۳۶	۰/۰۳۴
Mn	۰/۰۰	۰/۰۰	۰/۰۰	۰/۰۰	۰/۰۰۱	۰/۰۰۱	۰/۰۰۱	۰/۰۰۱	۰/۰۰۱	۰/۰۰	۰/۰۰	۰/۰۰
Mg	۰/۰۳۳	۰/۰۳۱	۰/۰۳۱	۰/۰۲۷	۰/۰۲۶	۰/۰۳۲	۰/۰۳۸	۰/۰۳۴	۰/۰۲۸	۰/۰۳۴	۰/۰۳۶	۰/۰۳۲
Ca	۰/۰۰۳	۰/۰۰	۰/۰۰	۰/۰۰	۰/۰۰	۰/۰۰	۰/۰۰۳	۰/۰۰۲	۰/۰۰	۰/۰۰۱	۰/۰۰۱	۰/۰۰
Na	۰/۰۷۵	۰/۱۴۲	۰/۱۲۷	۰/۱۲۳	۰/۱۳۶	۰/۱۲۲	۰/۱۱۵	۰/۱۵۹	۰/۱۸۳	۰/۱۷۶	۰/۱۴۸	۰/۱۷۹
K	۰/۶۶	۰/۷۹۱	۰/۷۹۳	۰/۷۸۹	۰/۷۷۴	۰/۷۶۴	۰/۷۹۲	۰/۶۹۶	۰/۶۷۹	۰/۶۶۳	۰/۶۸۹	۰/۷۰۹
مجموع کاتیون‌ها	۶۸/۰۲	۶۹/۶۳	۶۹/۵۷	۶۹/۴۳	۶۹/۴۱	۶۹/۲۶	۶۹/۴۵	۶۹/۰۰	۶۸/۹۹	۶۸/۸۹	۶۸/۸۲	۶۹/۱۸
Ms	۰/۸۶	۰/۷۴	۰/۷۶	۰/۷۵	۰/۷۶	۰/۷۵	۰/۷۵	۰/۷۶	۰/۷۵	۰/۷۷	۰/۷۶	۰/۷۴
Pa	۰/۱۲۱	۰/۴۲	۰/۳۶	۰/۳۷	۰/۴	۰/۳۳	۰/۳۵	۰/۳۷	۰/۴۳	۰/۳۶	۰/۳۵	۰/۴۶
cel	--	۰/۰۰۴۵	--	--	--	--	۰/۰۰۴۸	--	--	--	--	--
fccl	--	۰/۰۰۸۳	--	--	--	--	۰/۰۰۷۷	--	--	--	--	--

جدول ۶ مجموعه واکنش‌های مستقل استفاده شده در برآورد شرایط متوسط دما - فشار برای بیشترین دگرگونی در متاپلیت MG31B با استفاده از برنامه ترموکالک (نمادهای استفاده شده، از برنامه ترموکالک است).

- 1) $gr + 2sill + q = 3an$
- 2) $23gr + 6mst + 48q = 8py + 69an + 12H_2O$
- 3) $23gr + 6fst + 48q = 8alm + 69an + 12H_2O$
- 4) $phl + 2sill + q = py + mu$
- 5) $ann + 2sill + q = alm + mu$

جدول ۷ نتایج محاسبات تعادلات فازی با ترموکالک.

نمونه	$T (^{\circ}C)$	$P (kbar)$	$SD (T)$	$SD (P)$	Correl.	Fit
MG31B	۶۰۱	۴٫۲	۴۸	۲٫۰	۰٫۸۹۳	۲٫۰۶

جدول ۸ نتایج تجزیه سنگ کل دو نمونه از متاپلیت‌ها.

نمونه	SiO ₂	Al ₂ O ₃	Fe ₂ O ₃	MgO	CaO	Na ₂ O	K ₂ O	TiO ₂	P ₂ O ₅	MnO	Cr ₂ O ₃	L.O.I. (مواد فرار)	مجموع
MG31B	۴۱٫۸۲	۲۶٫۳۱	۹٫۷۵	۱٫۷۹	۰٫۶۵	۰٫۴۸	۲٫۷۲	۱٫۷۱	۰٫۲	۰٫۱۱	۰٫۰۲۹	۴٫۱	۹۹٫۶۷
MG39	۵۴٫۹۶	۲۲٫۵۹	۹٫۱۳	۲٫۲۸	۱٫۱۴	۲٫۵۴	۲٫۶۱	۰٫۹۹	۰٫۱۲	۰٫۱۳	۰٫۰۲۱	۳٫۲	۹۹٫۷۱

نمودار P-T شبه مقاطع برای هر دو نمونه سنگ کل در گستره فشار ۶٫۵ - ۲ kbar و دمای ۷۰۰ - ۳۰۰ °C در سامانه مدل MnNCKFMASH (شکل ۷) رسم شد. ترکیب سنگ کل نمونه MG31B از متاپلیت‌های پهنه سیلیمانیت و نمونه MG39 از پهنه گارنت توسط تجزیه سنگ کل ICP-AES تعیین شد. در این ترکیب‌ها، همه Fe بصورت FeO فرض شد. شبه مقاطع رسم شده برای هر دو نمونه با ترکیب‌های همنا- های X_{Gr}، X_{Alm}، X_{Sps} و X_{Gr} [۴۲] گارنت تراز شدند (شکل ۷).

شرایط P-T برآمده از مرکز گارنت در نمونه MG31B، فشار ۴٫۹ kbar و دمای ۶۰۸ °C و برای لبه آن مقادیر kbar ۴٫۶ و ۶۰۶ °C را نشان می‌دهد در حالی که شرایط P-T برای مرکز گارنت Grt₁ در نمونه MG39 مقدار فشار ۵٫۴ kbar و دمای ۵۹۶ °C است که به نظر بیشینه فشار دگرگونی را نشان می‌دهد و برای لبه Grt₁ این نمونه، فشار ۳٫۸ kbar و دما ۵۹۳ °C بدست آمد. این شرایط دمایی چنان که پیشتر بر پایه نسبت Fe/(Fe+Mg) برای تغییرات دمای بین مرکز و لبه پیش‌بینی شده بود، برای هر دو نمونه نزدیک به هم است. اما ترکیب‌های همناهای گارنت Grt₂ بر این شبه مقاطع همدیگر را قطع نمی‌کنند. این ناشی از عدم تعادل ترکیب‌های گارنت Grt₂ است، زیرا شبه مقاطع نمودارهای تعادلی به حساب می‌آیند [۴۲]. چنان که در شکل ۷ دیده می‌شود، تغییرات ترکیب شیمیایی از مرکز به سوی لبه‌های گارنت، مرحله کاهش فشار را نشان می‌دهند. مولفه X_{Gr} گارنت

زمین دماسنجی کلریت‌ها بر پایه کارهای تجربی

تغییرات ترکیبی بدون تناسب عنصری کلریت‌ها، اطلاعات مفیدی را درباره شرایط فیزیکی شیمیایی بویژه برای تعیین دما فراهم می‌سازد [۴۳]. دو نوع زمین دماسنجی کلریت وجود دارد: واسنجی تجربی (مثل زمین دماسنج‌های کلریت بر پایه تهی‌جای آلومینیم چهاروجهی/یا تهی‌جای هشت‌وجهی) و واسنجی نیمه-تجربی و برپایه محاسبات ترمودینامیکی (مانند زمین دماسنج‌های کلریت برپایه فعالیت اعضای پایانی). برای محاسبه دمای بیوتیت‌های کلریتی شده در مجموعه دگرگونی گیسور از توابع ارائه شده در مراجع [۴۵، ۴۴] که در محیط‌های گوناگون کاربرد دارند، استفاده شد (جدول ۳).

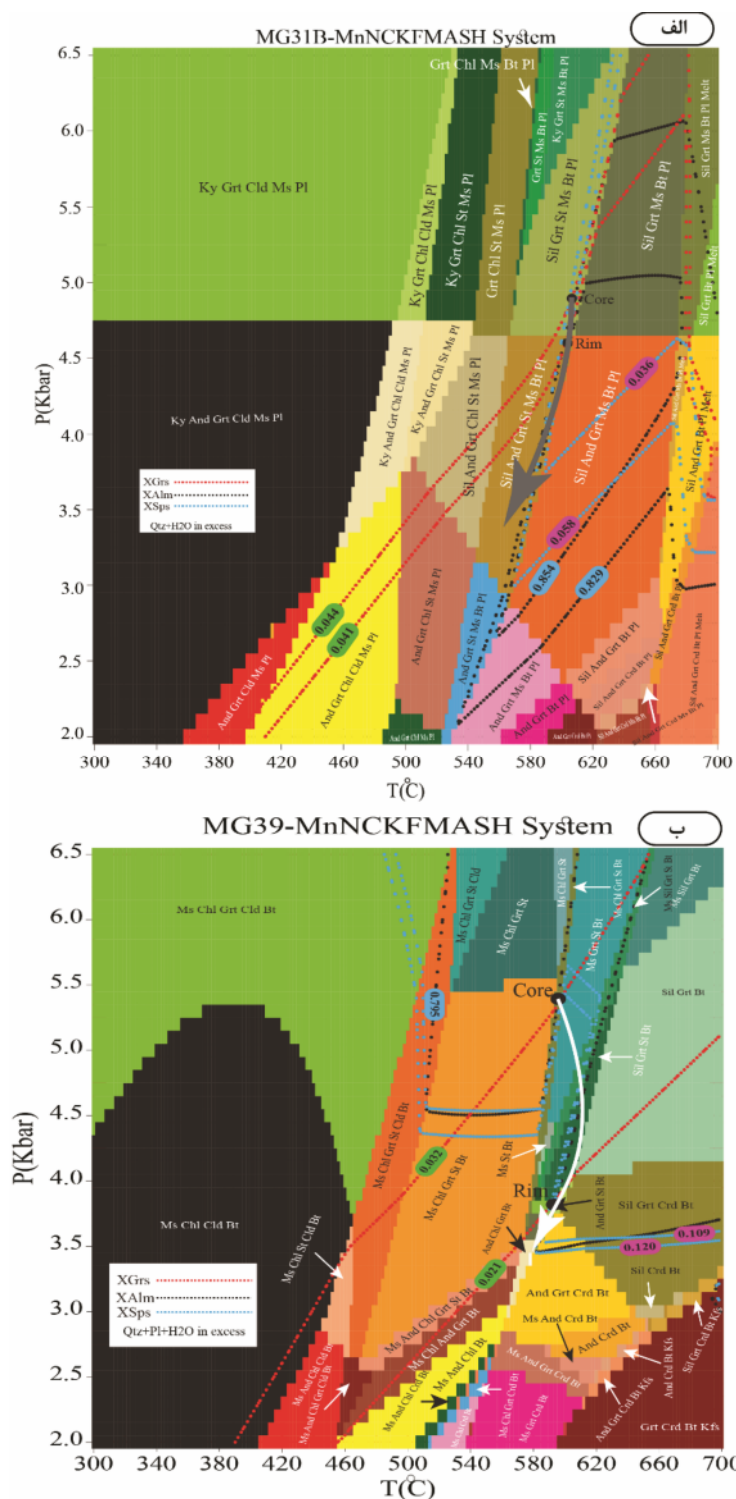
نمودار P-T شبه مقاطع برای هر دو نمونه سنگ کل در گستره فشار ۶٫۵ - ۲ kbar و دمای ۷۰۰ - ۳۰۰ °C در سامانه مدل MnNCKFMASH (شکل ۷) رسم شد. ترکیب سنگ کل نمونه MG31B از متاپلیت‌های پهنه سیلیمانیت و نمونه MG39 از پهنه گارنت توسط تجزیه سنگ کل ICP-AES تعیین شد. در این ترکیب‌ها، همه Fe بصورت FeO فرض شد. شبه مقاطع رسم شده برای هر دو نمونه با ترکیب‌های همنا- های X_{Gr}، X_{Alm}، X_{Sps} و X_{Gr} [۴۲] گارنت تراز شدند (شکل ۷).

شرایط P-T برآمده از مرکز گارنت در نمونه MG31B، فشار ۴٫۹ kbar و دمای ۶۰۸ °C و برای لبه آن مقادیر kbar ۴٫۶ و ۶۰۶ °C را نشان می‌دهد در حالی که شرایط P-T برای مرکز گارنت Grt₁ در نمونه MG39 مقدار فشار ۵٫۴ kbar و دمای ۵۹۶ °C است که به نظر بیشینه فشار دگرگونی را نشان می‌دهد و برای لبه Grt₁ این نمونه، فشار ۳٫۸ kbar و دما ۵۹۳ °C بدست آمد. این شرایط دمایی چنان که پیشتر بر پایه نسبت Fe/(Fe+Mg) برای تغییرات دمای بین مرکز و لبه پیش‌بینی شده بود، برای هر دو نمونه نزدیک به هم است. اما ترکیب‌های همناهای گارنت Grt₂ بر این شبه مقاطع همدیگر را قطع نمی‌کنند. این ناشی از عدم تعادل ترکیب‌های گارنت Grt₂ است، زیرا شبه مقاطع نمودارهای تعادلی به حساب می‌آیند [۴۲]. چنان که در شکل ۷ دیده می‌شود، تغییرات ترکیب شیمیایی از مرکز به سوی لبه‌های گارنت، مرحله کاهش فشار را نشان می‌دهند. مولفه X_{Gr} گارنت

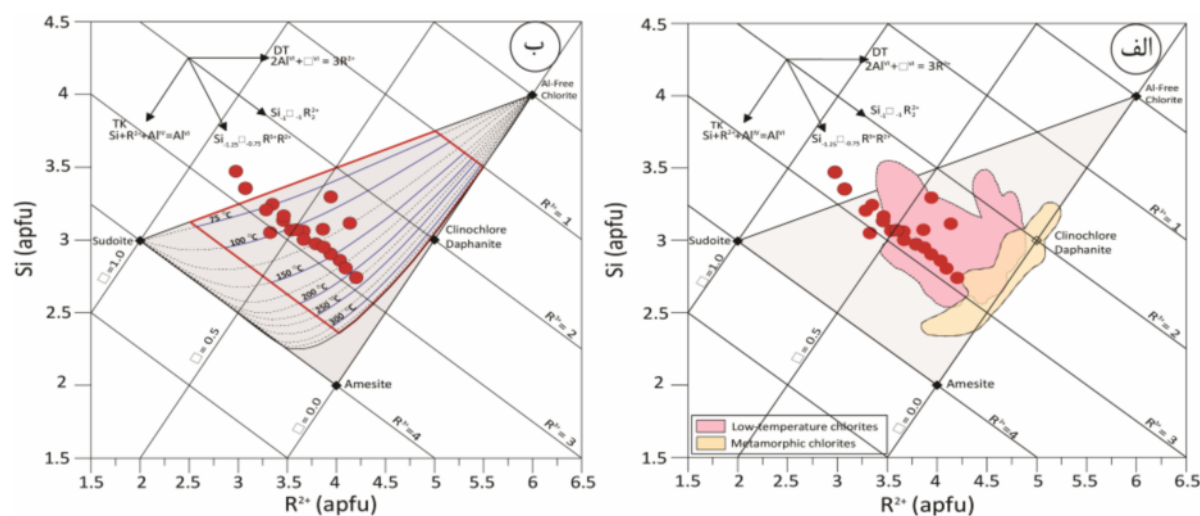
دما پایین قرار گرفته‌اند و شکل ۸ ب دماهای پایین‌تر از 250°C را نشان می‌دهد.

دمای تشکیل این کلویت‌ها بر پایه تابع مرجع [۴۴]، 332°C – 212°C و از تابع مرجع [۴۵]، 343°C – 165°C محاسبه شد.

از طرفی، نمونه‌های بیوتیت کلویتی شده بر نمودار $\text{R}^{2+}\text{-Si}$ قرار دارند [۴۶]. نمونه‌ها در شکل ۸ الف در گستره کلویت‌های



شکل ۷ نمودارهای فشار-دما شبه مقاطع برای دو نمونه متاپلیتی (الف) $\text{MG}_{31\text{B}}$ و (ب) MG_{39} .



شکل ۸ الف و ب) نمونه‌های بیوتیت کلریتی شده بر نمودار R^{2+} -Si [۴۶].

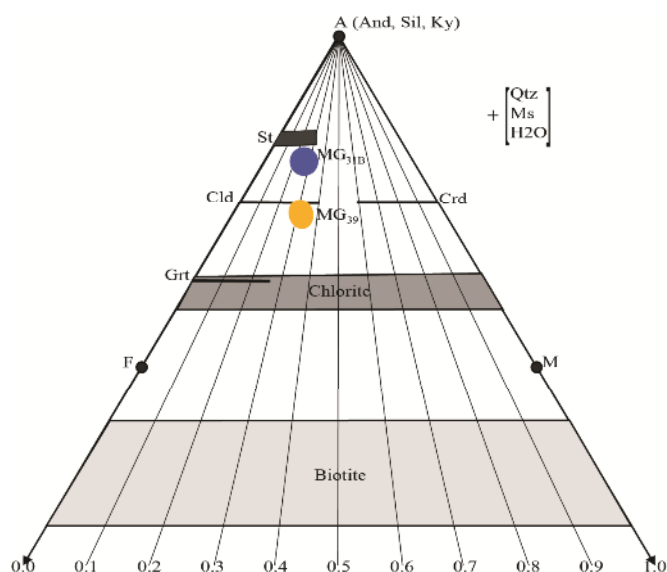
بحث

شکل ۹ نمودار AFM سامانه KFMASH برای ترکیب سنگ کل دو نمونه MG_{31B} و MG_{39} را نشان می‌دهد که آنها بالای خط گارنت - کلریت و نزدیک به قطب A قرار دارند و بنابراین هر دو غنی از آلومینیوم هستند آنها همچنین به قطب آهن نزدیک هستند [۴۷]، بنابراین پیش بینی می‌شود که سنگ‌های دگرگونی گیسور دربردارنده کانی‌های آلومینیوم‌دار و غنی از آهن مانند آندالوزیت، سیلیمانیت، استارولیت، گارنت و کلریتوئید ولی بدون کانی‌های منیزیم‌دار مانند کردیریت باشد. نسبت مولی $MgO/(FeO+MgO)$ ترکیب سنگ کل برای هر دو نمونه، کمتر از ۰/۴ است (شکل ۹).

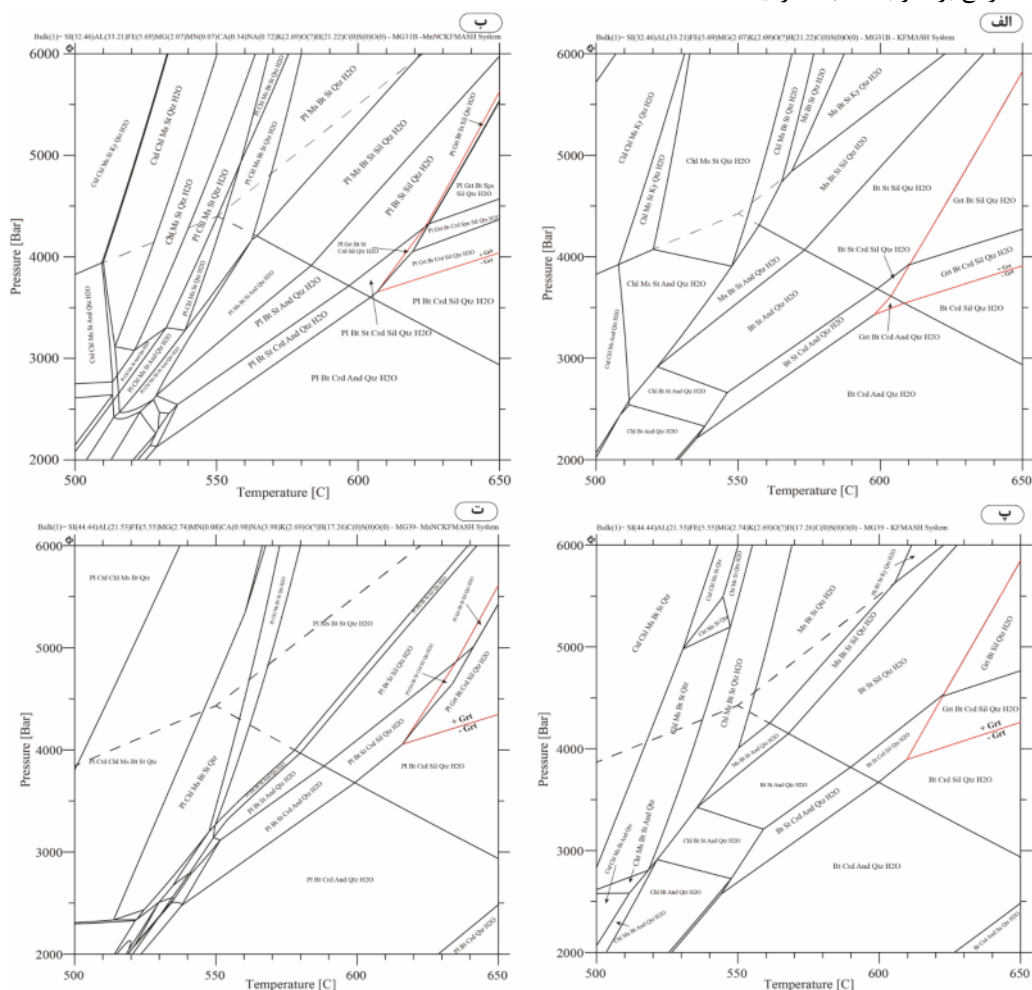
فشار محاسبه شده بر پایه روش‌های فشارسنجی بیان شده بیش از ۴ kbar است. بسیاری از سنگ‌شناسان نقطه سه‌گانه آلومینوسیلیکات‌ها را $۵۵۰^{\circ}C$ در $۴/۵kbar$ در نظر می‌گیرند [۴۸، ۴۹]. بنابراین می‌توان گفت که فشارهای زیر $۴/۵ kbar$ در گستره دگرگونی مجاورتی قرار دارند. مقایسه خط گارنت در نمودارهای شکل ۱۰ نشان می‌دهد که دلیل افزایش فشار در مدل‌سازهای ترمودینامیکی با استفاده از شبه مقاطع در ارتباط با ترکیب سنگ کل و به احتمال بسیار داده‌های ترمودینامیکی است [۵۰]. در این نمودارها، فشار برای خط گارنت در سامانه MnNCKFMASH نسبت به سامانه KFMASH که برای دو نمونه MG_{31B} و MG_{39} محاسبه شده است، بالاتر است. این نمودارها با استفاده از بانک اطلاعاتی tcd55 و توسط نرم افزار

theriak-Domino رسم شده‌اند. همچنین مقایسه شکل‌های ۷ و ۱۰ تفاوت داده‌های ترمودینامیکی مختلف مربوط به بانک-های اطلاعاتی متفاوت را نمایش می‌دهند. این مقایسه نشان دهنده وجود مجموعه‌های متفاوتی از کانی‌ها در آنها و نیز گستره‌های پایداری متفاوت آنهاست. از سویی، گارنت‌های تشکیل شده در شرایط دگرگونی کوهزایی و برخوردی بوسیله افزایش همزمان و با قاعده غلظت گروسولار و پیروپ در مرز بین نسل‌های مختلف گارنت، شاهدهی برای رشد همزمان آن‌ها طی افزایش دما و فشار است [۵۰]. بررسی نیم‌رخ گارنت (مانند نمونه MG_{39} در شکل ۵) نشان می‌دهد که گروسولار در لبه گارنت نوع ۱ کاهش یافته و پیروپ کمی افزایش می‌یابد. افزون بر این، براساس شواهد بافتی گارنت‌های منطقه مورد بررسی پسازمین ساخت هستند (شکل‌های ۳ الف و ب)؛ بنابراین گارنت در شرایط دگرگونی مجاورتی شکل گرفته است. گارنت در پهنه سیلیمانیت دارای لبه‌هایی با Ca پایین است (شکل ۵) که نشانگر رشد آن در این پهنه است [۵۱]. همچنین منطقه-بندی شیمیایی در گارنت ۱ از نمونه MG_{39} نشان دهنده پیشرفت دگرگونی طی نفوذ توده گرانودیوریتی است. این امر نشان می‌دهد که براساس شکل ۷، فشار دگرگونی نمی‌تواند بیش از فشار دگرگونی مجاورتی باشد (کمتر از $۴/۵ kbar$). گارنت ممکن است با واکنش دو متغیره زیر در سامانه



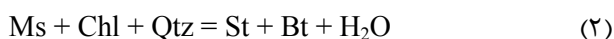


شکل ۹ نمودار AFM در سامانه KFMASH، برای ترکیب سنگ کل دو نمونه MG_{39} و MG_{31B} که هر دو نمونه در بالای خط کلریت-گارت و نزدیک به قطب A واقع بوده و به قطب F نزدیک هستند.

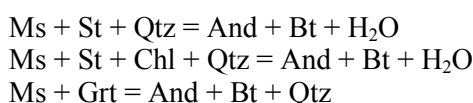


شکل ۱۰ نمودارهای P-T شبه مقاطع برای نمونه‌های ترکیب سنگ کل MG_{39} و MG_{31B} که با نرم افزار Theriak-Domino تهیه شده‌اند: الف و ب) برای ترکیب سنگ کل MG_{31B} ، به ترتیب برای سامانه‌های KFMASH و MnNCKFMASH. پ و ت) برای ترکیب سنگ کل MG_{39} ، به ترتیب برای سامانه‌های KFMASH و MnNCKFMASH. برای هر دو نمونه، خط گارت (خط قرمز رنگ) تابعی از ترکیب سنگ کل است.

اگر چه استارولیت یک کانی شاخص در سنگ‌های دگرگونی ناحیه‌ای است، اما گزارش‌های بسیاری از هاله‌های دگرگونی در نقاط مختلف جهان منتشر شده است [۴۰، ۵۱، ۵۲] شواهد بافتی استارولیت در شکل ۳ ح نشان می‌دهد که بلورهای آن به صورت متقاطع و تصادفی قرار گرفته‌اند و در صحرا نیز گسترش چندانی ندارد (شکل ۱). بنابراین استارولیت در هاله دگرگونی ایجاد شده است و به علت نبود شواهدی برای مشارکت گارنت در تشکیل استارولیت، واکنش دو متغیره احتمالی زیر در سامانه KFMASH پیشنهاد می‌گردد:



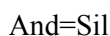
شواهد صحرایی و میکروسکوپی نشان می‌دهد که آندالوزیت نیز دارای ساخت و بافتی تصادفی و متقاطع است و چنان که در بالا اشاره شده پساً زمین ساخت بوده و بنابراین در هاله دگرگونی مجاورتی به وجود آمده است. برای تشکیل آندالوزیت، به علت وجود مجموعه‌های $\text{And} + \text{Bt} \pm \text{Chl}$ ، $\text{St} + \text{And} + \text{Bt} \pm \text{Chl}$ و $\text{Grt} + \text{And} + \text{Bt}$ واکنش‌های دو متغیره زیر در سامانه KFMASH پیشنهاد می‌شود:



همچنین می‌توان واکنش تک متغیره زیر را در سامانه KFMASH برای مجموعه $\text{St} + \text{Grt} + \text{And} + \text{Bt}$ در نظر داشت:

$$\text{Ms} + \text{St} + \text{Qtz} = \text{Grt} + \text{And} + \text{Bt} + \text{H}_2\text{O} \quad (۴)$$

شواهد میکروسکوپی رشد سیلیمانیت را درون لبه آندالوزیت نشان می‌دهد، بنابراین افزوده شدن سیلیمانیت به مجموعه $\text{And} + \text{St} + \text{Bt} + \text{Grt}$ نشان دهنده واکنش زیر است:



شیستوارگی S_1 و حضور کانی کلریتوئید شاخص دگرگونی ناحیه‌ای است [۲۴] که در اثر نفوذ توده گرانودیوریتی گیسور که از نوع I دما پایین است [۲۱] دستخوش دگرگونی مجاورتی شده است. بنابراین با توجه به مطالب بالا از جمله شواهد دگرگونی مجاورتی، می‌توان به وجود بافت‌های تصادفی و متقاطع آندالوزیت، استارولیت، مسکوویت، گارنت پساً زمین ساخت و رشد سیلیمانیت منشوری به درون لبه آندالوزیت اشاره کرد که نشانگر یک دگرگونی پیشرونده و در اثر نفوذ توده آذرین بوده است.

شیستوارگی S_2 و محور کشش بودین (شکل‌های ۲ و ۳ ج) و آذرین لایه میکروگرانییتی (شکل ۱) پیشنهاد می‌کنند که فشارهای زمین ساختی سبب بروز کشش در مجموعه سنگ‌های

دگرگونی گیسور شده و توده نفوذی توانسته است، که جایگیری کند.

اما شواهدی چون کلریتی‌شدن بیوتیت، سریسیتی شدن آندالوزیت و کلریتی شدن گارنت در محل شکستگی‌ها همه بیانگر وجود یک دگرگونی پسروده و بالآآمدگی است. براساس شکل ۸، بیوتیت‌های کلریتی شده همراه با خط R^{3+} و در گستره $۱/۵ < R^{3+} < ۳/۵$ قرار دارند که دارای جانشینی‌های چرماک هستند. بنابراین چنان که بوردل و همکارش [۴۶] اشاره کرده‌اند، آنها در فرآیند دگرگونی به وجود می‌آیند. حال آنکه کلریت‌های بر آمده از محیط درونزایی از نوع پیروفیلیت و گیبسیت/کلریت بدون Al بوده و افزون بر جانشینی چرماک، دارای تبادل دو-سه هشت وجهی هستند [۴۶]. البته براساس شکل ۸ ب قابل پیش‌بینی است که برخی از کلریت‌ها بالای خط سدوئیت - کلریت بدون Al قرار بگیرند که چنین کلریت-هایی ناشی از محیط‌های درونزایی و دگرسانی هستند [۴۶]. همچنین انباشت بلورهای یک کانی که جانشین کانی اولیه شده و شکل کاذب آن را به خود گرفته باشند، به علت کاهش شرایط دما-فشار طی بالآآمدگی تفسیر می‌شود [۲۳]، بنابراین وجود چنین بافتی در بیوتیت‌های کلریتی شده نشانه‌ای از بالآآمدگی و یک دگرگونی پسروده است. نبود منطقه‌بندی مشخص در گارنت ۲ از این نمونه و عدم تعادل ترکیب شیمیایی آن بر نمودارهای P-T شبه مقاطع (شکل ۷) نشان از رشد آن‌ها طی دگرگونی پسروده است.

همچنین وجود ریزترک‌های شعاعی پیرامون میانبرهای کوارتز در گارنت (شکل ۳ خ) از سنگ‌هایی که دچار دگرگونی فشارهای بسیار بالا نشده‌اند، گزارش شده است [۵۳، ۵۴] که آن‌ها را ناشی از یک مؤلفه بزرگ کاهش فشار همدمای دانند [۵۳، ۵۵]. این شکستگی‌ها تابعی از شکل و اندازه میانبرهای کوارتز هستند [۵۶].

مسیر P-T در شکل ۷ نشان می‌دهد که سنگ‌ها در یک مسیر ساعت گرد بالا آمده‌اند که در بردارنده کاهش فشار است و در ابتدای مسیر به طور همدمای دچار بالا آمدگی شده‌اند. این مسیر نیز با شواهدی بالا همخوانی خوبی دارد.

بر اساس شکل ۱، پهنه سیلیمانیت در ضلع جنوبی واقع است. چنان که پور محمد و همکاران [۲۱] اشاره کرده‌اند، برونوم‌های ریزدانه‌ای مافیک توده گرانودیوریتی بیشتر در بخش جنوبی آن گسترش دارند. بنابراین فراوانی برونوم‌های نوع ریزدانه‌ای مافیک به احتمال بسیار در ارتباط با افزایش دما

- [3] Aghanabati S. A. *Geology of Iran*, Geological Survey of Iran, Tehran (in Persian) 2004.
- [4] Camp V., Griffis R., *Character, genesis and tectonic setting of igneous rocks in the sistian suture zone, eastern Iran*, Lithos, 15 (1982), 221-239.
- [5] Tirrul R., Bell I. R., Griffis R. J. Camp V. E., *The Sistian suture zone of eastern Iran* Geological Society of America Bulletin, 94 (1983), 134-156.
- [6] Jung D., Keller J., Khorasani R., Marcks C., Baumann A. Horn P., *Petrology of the Teriary magmatic activity in the north Lut area, East of Iran*, Ministry of mines and metals. Geological Survey of Iran, Geodynamic Project (Geotraverse), 51(1983), 285-336.
- [7] Arjmandzadeh R., Karimpour M. H., Mazaheri S. A., Santos J. F., Medina J. M. Homam S. M., *Sr-Nd isotope geochemistry and petrogenesis of the Chah-Shaljami granitoids (Lut block, eastern Iran)*, Journal of Asian Earth Sciences, 41(2011), 283-296.
- [8] Nabavi M. H., *An introduction to the geology of Iran*, Geological Survey of Iran. (1976)109 p.
- [9] Ghaemi F., *Geological Map 1: 100,000 Nodeh*, Geological Survey of Iran(in Persian) (2010).
- [10] Foley A., *Geological Map of 1: 250000 Gonabad*, Geological Survey of Iran (2004).
- [11] B.R.G.M., *Explanatory text of the Gonabad Quadrangle map 1:250000*, Geological Survey of Iran. (1992) p.166.
- [12] Karimpour M. H., Moradi M., *Petrology of Granodiorite and Monzonites of eastern Najmabad (Gonabad)*, 17th Iranian Society of Crystallography and Mineralogy, Bo Ali Sina University, Hamedan. (in persian) (2009)
- [13] Javadi S., *Petrological investigation of metamorphic rocks of Chah Yousef mountains area north of Geysour village*, Mashhad Ferdowsi University. Master thesis. (in persian) (2013).
- [14] Powell P., Holland T. J. B., *An internally consistent dataset with uncertainties and correlations: 3. Applications to geobarometry, worked examples and a computer program*, Journal of metamorphic Geology, 6(2)(1988), 173-204.

در این قسمت بوده و بنابراین سیلیمانیت در اثر افزایش دمای ناشی از آن بوجود آمده است.

برداشت

مجموعه دگرگونی گیسور که در معرض نفوذ توده گرانودیوریتی است، دارای طیف سنگی گوناگونی از اسلیت و فیلیت تا انواع شیست‌ها (کلریتوئید شیست، گارنت شیست، بیوتیت-استارولیت-گارنت شیست، آندالوزیت شیست، سیلیمانیت-آندالوزیت شیست، آندالوزیت-گارنت شیست و آندالوزیت-سیلیمانیت-استارولیت-گارنت شیست) است. کانی‌های اصلی موجود در این مجموعه دگرگونی شامل کلریتوئید، گارنت، استارولیت، آندالوزیت و سیلیمانیت هستند. ترکیب داده‌های صحرایی، سنگ نگاری و ترمودینامیکی مسیر دما - فشار ویژه‌ای را برای این مجموعه نشان می‌دهد. در این مسیر بر پایه وجود ساختارهای صحرایی و سنگ نگاری (چون شیستوارگی S_1)، کانی کلریتوئید دگرگونی ناحیه‌ای را نشان می‌دهد که بوسیله دگرگونی مجاورتی پیگیری می‌شود. از جمله شواهد این دگرگونی می‌توان به وجود بافت‌های تصادفی: آندالوزیت، استارولیت، مسکوویت؛ گارنت پسا زمین ساخت و رشد سیلیمانیت منشوری به درون لبه آندالوزیت اشاره کرد که نشان دهنده یک دگرگونی پیشرونده و در اثر نفوذ توده آذرین است. از طرفی، شواهدی چون کلریتی شدن بیوتیت، سریسیتی شدن آندالوزیت و کلریتی شدن گارنت در محل شکستگی‌ها و ایجاد ریزترک‌های شعاعی گارنت همه بیانگر وجود یک دگرگونی پسرونده و بالآمدگی است که در راستای حرکت عقب‌به‌های ساعت رخ داده است.

قدردانی

در اینجا لازم است از آقایان پروفسور اسپیر و پروفسور هولند برای راهنمایی‌های موثر علمی‌شان تشکر کنیم. از آقای مجید آروین‌نژاد برای همراهی در کارهای صحرایی قدردانی می‌شود. از معاونت پژوهشی و فناوری دانشگاه لرستان برای حمایت‌هایشان سپاسگزاریم.

مراجع

- [1] Stocklin J., *Structural history and tectonics of Iran, A review*, Amer. Ass. Petrol. Geol. Bull., 52 (1968) 1229-1258.
- [2] Stocklin J., Nabavi M. H., *Tectonic map of Iran 1:2,500,000*, Geological Survey of Iran (1973).

- silicate garnets*, Computers and Geosciences, 34 (2008), 1769-1780.
- [27] Kohn M. J., Spear F. S., Dalziel I. W. D., "Metamorphic P-T Path from Cordillera Darwin, a core complex in Tierra del Fuego, Chile", Journal of Petrology, 34, part 3, (1993) 519-542.
- [28] Spear F. S., "Metamorphic phase equilibria and pressure-temperature-time paths", Mineralogical Society of America, Washington, D. C., (1995) 823 p.
- [29] Kohn M. J., Orange D. L., Spear F. S., Rumble D., III. Harrison T. M., *Pressure, temperature, and structural evolution of west-central New Hampshire: Hot thrusts over cold basement*, Journal of Petrology, 33(3) (1992), 521-556.
- [30] Vance D., Holland T., "A detailed isotopic and petrological study of a single garnet from the Gassetts Schist, Vermont", Contributions to Mineralogy and Petrology, 114(1993), 101-118.
- [31] Zane A., Weiss Z., "A procedure for classifying rock-forming chlorites based on microprobe data", Rend. Lincei Sci. Fis. Nat. Ser., 9, (1998) 51-56.
- [32] Plissart G., Féménias O., Mărunțiu M., Diot H., Demaiffe D., "Mineralogy and geothermometry of gabbro-derived list venites in the Tisovita-lutiophiolite south western Romania", Can. Mineral. 47(2009), 81-105.
- [33] Wiewióra A., Weiss Z., "Crystallochemical classifications of phyllosilicates based on the unified system of projection of chemical composition: II. The chlorite group", Clay Minerals, 25(1990), 83-92.
- [34] Bayliss P., *Nomenclature of the trioctahedral chlorites*, Canadian Mineralogist, 13(1975), 178-180.
- [35] Juurinen A., "Composition and properties of staurolite", Ann. Acad. Sci. Fennicae, Ser. A, III (Geol. Geogr.), 47(1956), 1-53.
- [36] Holland T.J.B., Powell R., "An internally consistent thermodynamic data set for phases of petrological interest", J. Metamorph. Geol., 16(1998), 309-344.
- [15] Spear F. S., Menard T., *Program GIBBS: A generalized Gibbs method algorithm*, American Mineralogist, 74 (1989), 942-943.
- [16] Spear F. S., Kohn M. J., "Program Thermobarometry, version 2.1", GTB program manual, (1999) 1-42.
- [17] Yavuz F., Kumral M., Karakaya N., Karakaya M. Ç., Yıldırım D. K., "A Windows program for chlorite calculation and classification", Computers and Geosciences, 81(2015), 101-113.
- [18] De Capitani, C., Brown, T. H., *The computation of chemical equilibria in complex systems containing non-ideal solutions*, Geochimica et Cosmochimica Acta, 51(1987), 2639-2652.
- [19] Kertz R., *Symbols for rock-forming minerals*, American Mineralogist, 68 (1983), 277-279.
- [20] Whitney D.L., Evans B.W., "Abbreviations for names of rock-forming minerals". Am. Mineral. 95, (2010) 185-187.
- [21] Pourmohammad A. S., Ahmadi Khalaji A., Homam M., Tahmasebi Z., Ebrahimi M., "Geochemistry, petrogenesis and tectonic setting of Geysour granitoid, East Gonabad", Scientific Quarterly Journal, GEOSCIENCES, 29(2020), 137-150. (in Persian)
- [22] Homam S. M., Ghaemi F., *The mechanism of fibrolite formation in the contact aureole of Mashhad*, Iranian Society of Crystallography and Mineralogy. Vol. 16, No. 1(2008).
- [23] Barker A. J., *Introduction to metamorphic textures and microstructures*, Springer US. (1998) 275.
- [24] Deer W. A., Howie R. A., Zussman J., *Rock-forming minerals: Orthosilicates*, Geological Society, Vol. 1A, (1997) 917.
- [25] Moazzen M., "Chlorite-Chloritoid-Garnet Equilibria and Geothermometry in the Sanandaj-Sirjan metamorphic belt, southern Iran", Iranian Journal of Science & Technology, Transaction A, 28, No. A1(2004).
- [26] Locock A. J., "An Excel spreadsheet to recast analyses of garnet into end-member components, and a synopsis of the crystal chemistry of natural

- [47] Likhanov, I. I., Reverdatto A. V.V., Mineral assemblages of the Al_2SiO_5 "triple point" in metapelites, *Doklady Earth Sciences*, Vol. 448, No. 2, (2013)pp. 193–196.
- [48] Holdaway M. J., Mukhopadhyay B., A reevaluation of the stability relations of andalusite: Thermochemical data and phase diagram for the aluminum silicates, *American Mineralogist* (1993) 78 (3-4): 298-315.
- [49] Bucher K., Grapes R., *Petrogenesis of Metamorphic Rocks*, Springer, 2011.
- [50] Likhanov I. I., Reverdatto A. V.V., Kozlov P. S., Vershinin A. E., *The Teya Polymetamorphic Complex in the Transangarian Yenisei Ridge: An Example of Metamorphic Superimposed Zoning of Low_ and Medium_Pressure Facies Series*, *Doklady Earth Sciences*, 2011, Vol. 436, No. 4, pp.509–514.
- [51] Pattison D.R.M., Tinkham D.K., *Interplay between equilibrium and kinetics in prograde metamorphism of pelites: an example from the Nelson aureole, British Columbia*, *Journal of Metamorphic Geol.*, 2009 27 249-279.
- [52] Kennan P.S., "the Occurrence of cordierite and staurolite in a part of the Leinster granite aureole; a textural study", *Sci. Proc. Roy. Soc. Dublin, Ser. A*, 5 (1974), 131-136.
- [53] Wendt A.S., D'Arco P., Goffé B., Oberhänsli R., "Radial cracks around α -quartz inclusions in almandine: constraints on the metamorphic history of the Oman Mountains", *Earth and Planetary Science Letters*, 114(1993), 449-461.
- [54] Whitney D. L., "Garnets at open systems during regional metamorphism", *Geology*, 24(1991), 147-150.
- [55] Whitney D. L., "Calcium depletion halos and Fe-Mn-Mg zoning around faceted plagioclase inclusions in garnet from a high-grade pelitic gneiss", *Am. Mineral.*, 76(1996), 493-501.
- [56] Whitney D. L., Cooke M. L., Du Frane S. A., "Modeling of radial microcracks at corners of inclusions in garnet using fracture mechanics", *Journal of Geophysical Research*, 105(2000), 2843-2853.
- [37] Ferry J. M., Spear F. S., *Experimental calibration of the partitioning of Fe and Mg between biotite and garnet*, *Contributions to Mineralogy and Petrology*, 66(1978), 113-117.
- [38] Hodges K.V., Crowley P.D., "Error estimation and empirical geothermobarometry for polytic systems", *Am. Mineral.* 70 (1985), 702-709.
- [39] Foster G., Vance D., Argles T., Harris N., *The Tertiary collision-related thermal history of the NW Himalaya*, *Journal of Metamorphic Geology*, 20(2002), 827-843.
- [40] Pattison D. R. M., Vogl J. J. "Contrasting sequences of metapelitic mineral-assemblages in the aureole of the tilted Nelson Batholith, British Columbia: implications for phase equilibria and pressure determination in andalusite-silimanite-type settings", *Canadian Mineralogist*, 43(2005), 51-88.
- [41] Spear, F. S., Pyle, J. M., *Theoretical modeling of monazite growth in a low-Ca metapelite*, *Chemical Geology*, 273(2010), 111-119.
- [42] Wolfe, O. M. Spear, F. S., "Determining the amount of overstepping required to nucleate garnet during Barrovian regional metamorphism, Connecticut Valley synclinorium", *Journal of Metamorphic Geology*, 36(2018), 79-94.
- [43] Inoue, A., Meunier, A., Patrier-Mas, P., Rigault, C., Beaufort, D., Viellard, P., "Application of chemical geothermometry to low-temperature trioctahedral chlorites", *Clays and Clay Minerals*, 57(2009), 371-382.
- [44] Kranidiotis, P., and MacLean, W., "Systematic of chlorite alteration the Phelps Dodge massive sulfide deposit, Matagami, Quebec", *Econ. Geol.* 82(1987), 1898-1911.
- [45] Cathelineau, M., "Cation site occupancy in chlorites and illites as function of temperature", *Clay Miner.*, 23(1988), 471-485.
- [46] Bourdelle, F. Cathelineau, M., "Low-temperature chlorite geothermometry: a graphical representation based on a $T-R^{2+}-Si$ diagram", *Eur. J. Mineral.*, 27(2015), 617-626.